

PRIMIJENJENA MEHANIKA TLA

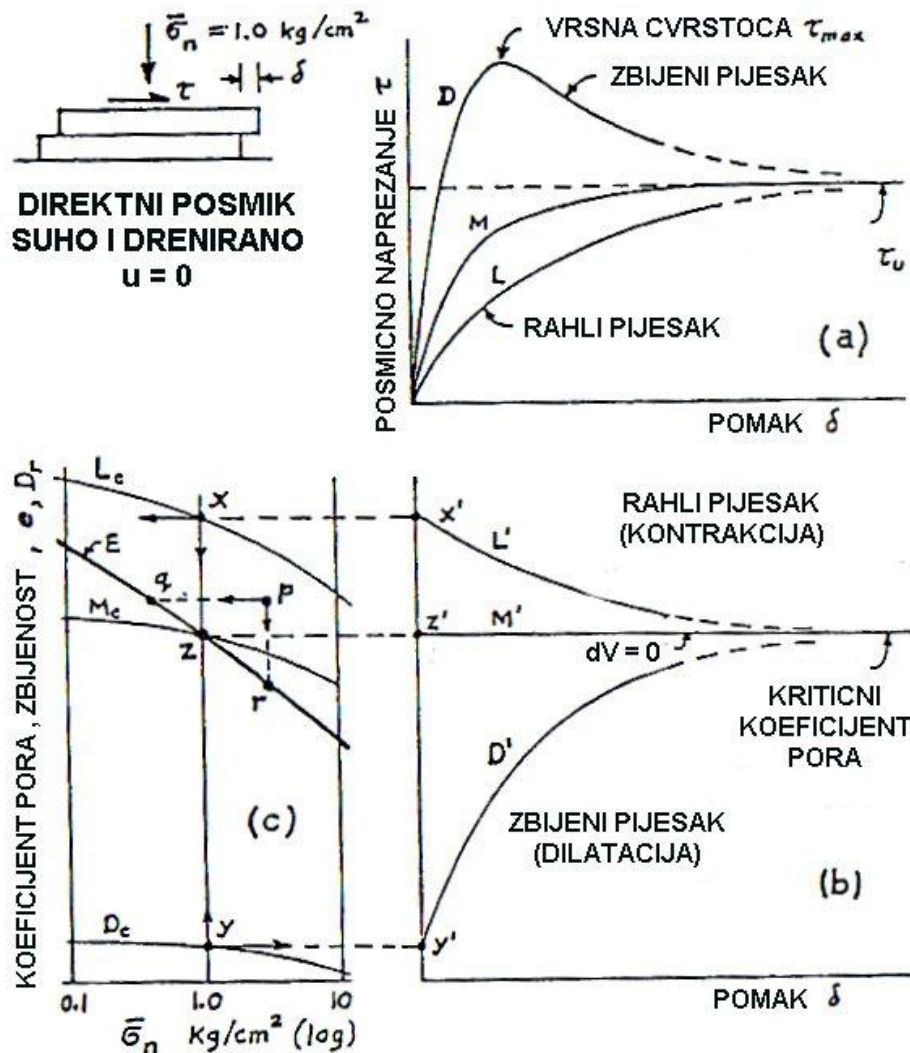
(II . predavanje)

SADRŽAJ

- ponašanje pjeska u uređaju za direktno smicanje
- ponašanje pjeska u troosnom uređaju (CID pokus)
- dilatacija
- kritično stanje
- vršna čvrstoća
- naponsko/deformacijska krivulja smicanja i redukcija krutosti
- krutost pri malim deformacijama
- rezultati CID pokusa za Erksak pjesak



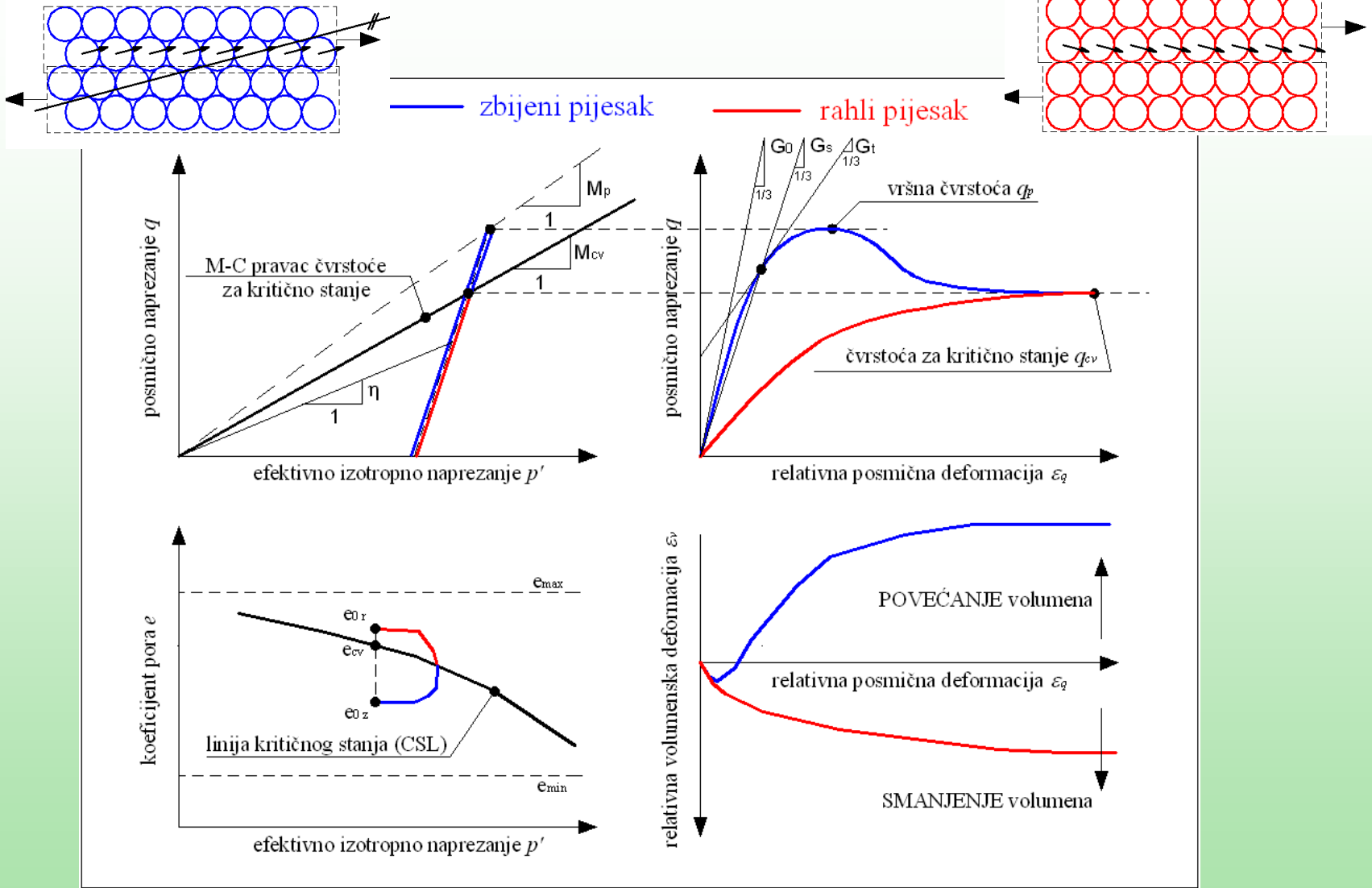
PONAŠANJE PIJESKA – direktni posmik



ISPITIVANJE DILATACIJE TLA U DIREKTNOM POSMIKU

Ispitivanje dilatacije pjeska u uređaju za direktni posmik prvi je ispitao Cassagrande (1936). Zbog pojave dilatacije, zbijeni uzorci pjeska povećavaju volumen uslijed smicanja, a rahli uzorci ga smanjuju. Ispitivanja pokazuju da uzorci pjeska različite zbijenosti, koji se smiču pri jednakom vertikalnom naprezanju, dolaze u slom približno pri jednakom koeficijentu pora. Pri velikim deformacijama koeficijent pora ostaje isti sa dalnjim smicanjem, uz isto posmično naprezanje, te kažemo da se pjesak nalazi u kritičnom stanju. Kritično stanje za različite vertikalne pritiske, može se prikazati krivuljom u $\sigma'_n - e$ dijagramu.

PONAŠANJE PIJESKA – CID pokus



PONAŠANJE PIJESKA – CID pokus

Osnovni elementi mehaničkog ponašanja pijeska mogu se zorno prikazati na rezultatima smicanja pijeska u tro-osnom CID pokusu. Shematski prikaz rezultata pokusa za zbijeni i rahli uzorak pijeska dan je na prethodnoj strani. Istraživanja pokazuju da prilikom smicanja pijeska dolazi do značajne promjene volumena ugrađenih uzoraka, pri čemu se početno zbijeni uzorci razrahljuju, a rahli uzorci zbijaju. Do promjene volumena dolazi zbog zrnate strukture pijeska za koju je karakteristično da prilikom smicanja nužno dolazi do preraspodjele zrna u zoni smicanja, čime se mijenja volumen početne strukture. Pojava se naziva dilatacija, a među prvima ju je na pijesku promatrao Reynolds (1885). Zbog djelovanja dilatacije zbijeni uzorci pijeska postižu veću čvrstoću nego rahli uzorci pri istom srednjem efektivnom naprezanju. Međutim pokazuje se da pri velikim deformacijama pijesaka u dreniranim uvjetima promjena posmičnih naprezanja jenjava (tečenje materijala), pijesak postiže konačnu čvrstoću koja ne ovisi o početnoj zbijenosti uzorka. Za zbijene pijeske ta je čvrstoća manja od vršne čvrstoće koju pijesak postiže pri znatno manjim deformacijama. Dodatno se pokazuje da u dreniranim uvjetima pri velikim deformacijama pijesak postiže konačnu zbijenost koja također ne ovisi o zbijenosti početnog uzorka, već samo o srednjem efektivnom naprezanju pri slomu.

PONAŠANJE PIJESKA – CID pokus

Ispitivanja pjeska u uvjetima različite zbijenosti i srednjeg efektivnog naprezanja pokazuju da je opisano stanje sloma jedinstveno za dani pjesak i može se opisati krivuljom u dijagramu koeficijent pora e – srednje efektivno naprezanje p' (Roscoe i dr. 1958). Takvo stanje naziva se kritičnim stanjem, krivulja kojom se ono opisuje linija kritičnog stanja (engleski: *Critical State Line – CSL*), a čvrstoća koju pjesak postiže u tom stanju čvrstoća za kritično stanje. Za kritično stanje karakteristično je da se pjesak u dreniranim uvjetima smiče pri konstantnom posmičnom naprezanju bez daljnje promjene volumena, što se na rezultatima CID pokusa očituje horizontalnom tangentom na krivulju smicanja i krivulju promjene volumena u točki kritičnog stanja (dijagrami q - e_q i e_v - e_q).

Stanje naprezanja u tro-osnom pokusu uobičajeno se prikazuje komponentama naprezanja, koje nezavisno utječu na promjenu volumena uzorka (srednje efektivno naprezanje p') odnosno na oblik uzorka (devijatorsko naprezanje q), a njihov omjer naziva se *omjer naprezanja* $\eta = q / p'$. Omjer naprezanja za kritično stanje označava se sa $\eta = M_{cv}$, a omjer naprezanja pri vršnoj čvrstoći $\eta = M_p$, pri čemu je vršna čvrstoća definirana kao maksimalna vrijednost devijatorskog naprezanja koju pjesak postiže u promatranom pokusu smicanja, q_p .

PONAŠANJE PIJESKA – CID pokus

Za različito srednje naprezanje, ovisno o zbijenosti, pjesak postiže različitu vršnu čvrstoću, koja se u polju naprezanja može opisati anvelopom čvrstoće. Oblik anvelope ovisi o zbijenosti pjeska odnosno dilataciji, čiji se iznos povećava sa zbijenošću pjeska.

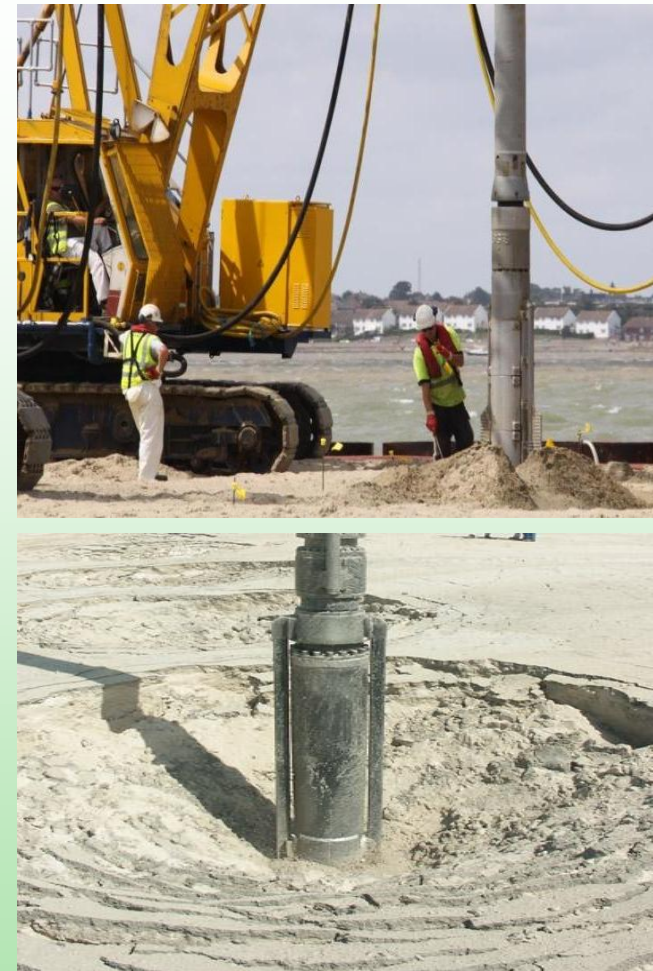
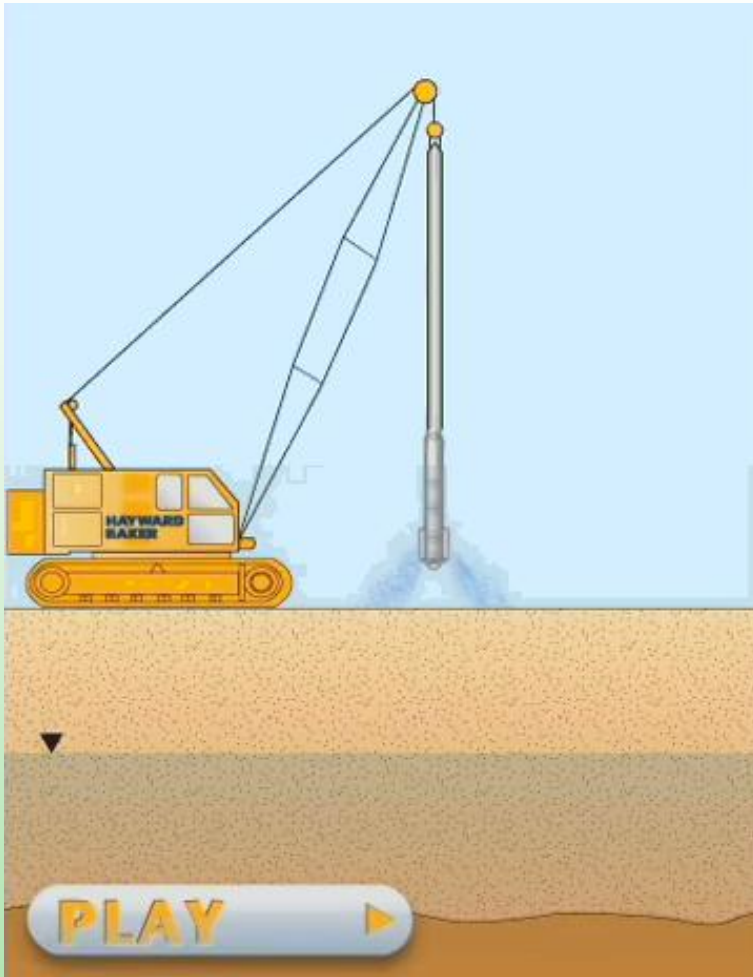
Ispitivanja pokazuju da iznos dilatacije ovisi o stanju naprezanja (Rowe 1962) pa tako za stanje naprezanja na početku pokusa, $\eta < M_{cv}$, dilatacija poprima pozitivnu vrijednost i za rahle i za zbijene uzorke pjeska, odnosno uslijed smicanja dolazi do zbijanja. Međutim za zbijene pjeske karakteristično je da dilatacija mijenja predznak za $\eta \approx M_{cv}$ što pri dalnjem smicanju uzrokuje razrahljenje uzorka (dijagram e_v - e_q).

Za pjesak je karakteristično da se sa porastom posmične deformacije smanjuje njegova krutost, odnosno dolazi do redukcije krutosti. Krutost se uobičajeno opisuje ili sekantnim G_s ili tangentnim G_t modulom posmične krutosti, koji u ishodištu poprimaju jedinstvenu vrijednost, koja se naziva početni modul posmične krutosti $G_0 = G_t = G_s$ (dijagram q - e_q). U kritičnom stanju tangentni modul krutosti poprima vrijednost $G_t = 0$, dok se sekantni modul neprekidno smanjuje .

PONAŠANJE PIJESKA – rahljenje zbijenog pijeska

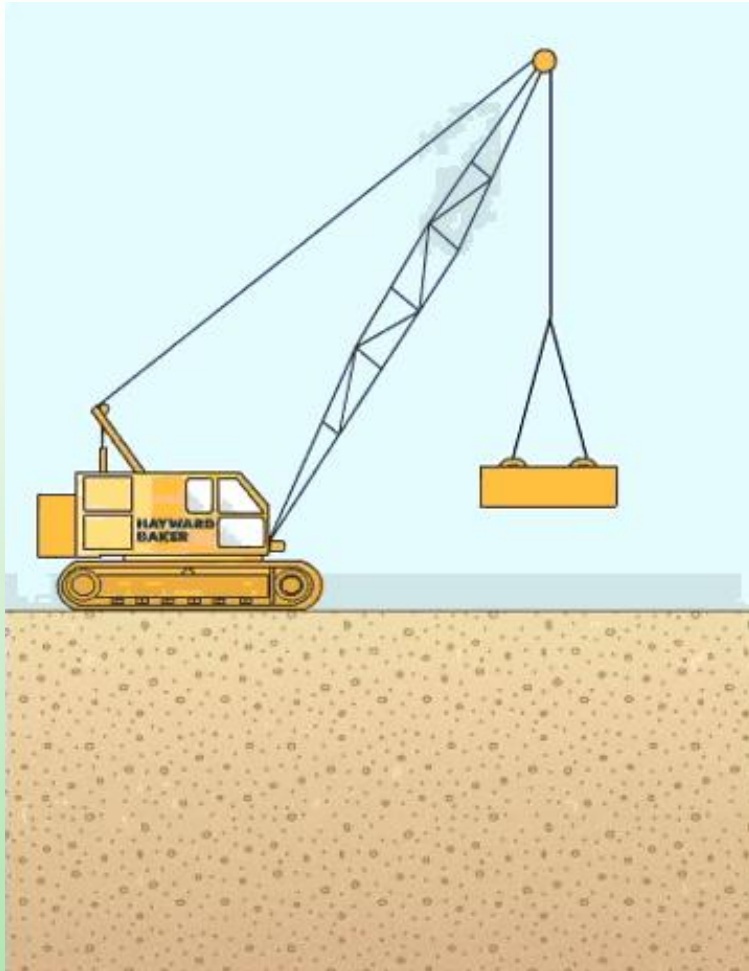


PONAŠANJE PIJESKA – zbijanje rahlog pjeska



Poboljšanje tla vibriranjem. Sonda koja vibrira utiskuje se u tlo pri čemu se nanose posmična naprezanja uslijed čega se rahli pjesak zbijia.

PONAŠANJE PIJESKA – zbijanje rahlog pjeska



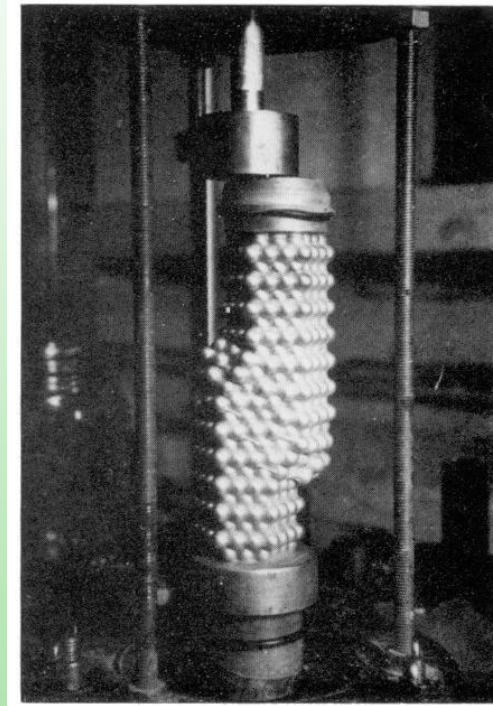
Poboljšanje tla dinamičkim zbijanjem. Uteg velike težine baca se na površinu terena pri čemu se nanosi dinamičko opterećenje te dolazi do zbijanja rahlog pjeska.

DILATACIJA

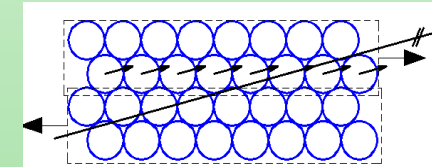
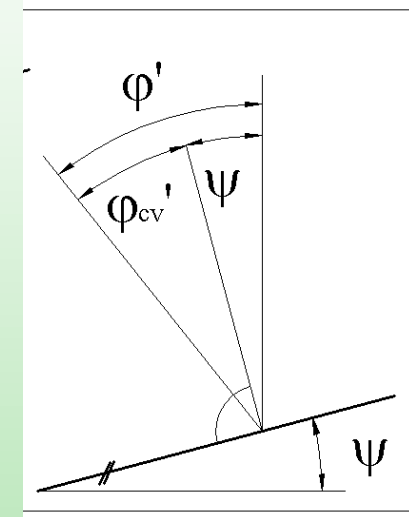
Dilatacija je svojstvo **promjene volumena prilikom smicanja pjeska u uvjetima konstantnog izotropnog naprezanja.**



primjer djelovanja dilatacije



ispitivanje dilatacije



ZBIJENI UZORAK

DILATACIJA

Reynolds (1885); Cassagrande (1936)

Rowe (1962)

$$D^p = \frac{d\varepsilon_v^p}{d\varepsilon_q^p} = \frac{9M_p - \eta}{9 + 3M_p - 2M_p\eta}$$

Roscoe & Scofield (1963)

Schofield & Wroth (1968)

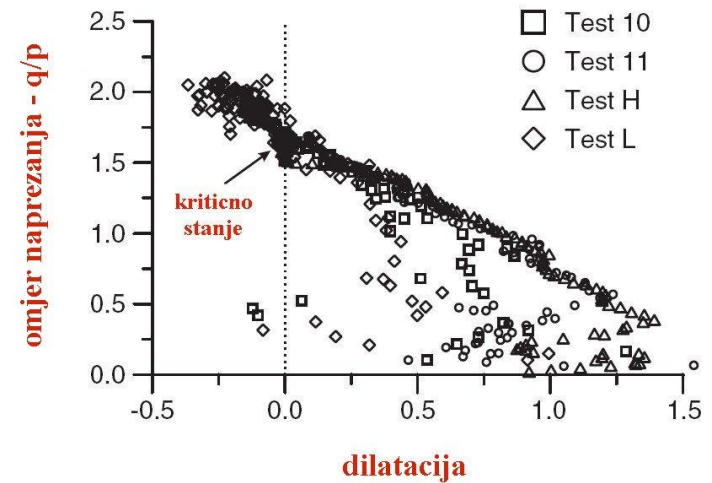
$$D^p = M_p - \eta$$

Nova (1982); Been & Jefferies (2006)

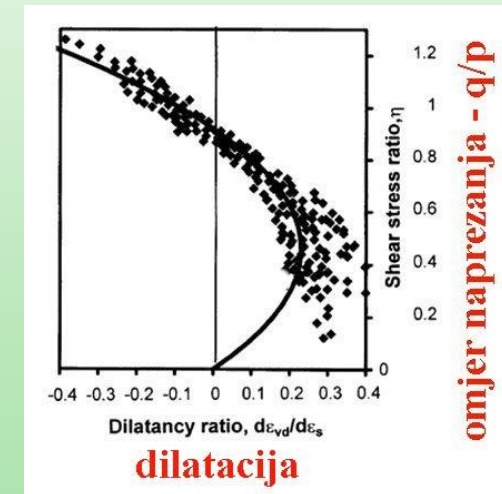
$$D^p = k_D M_p - \eta$$

Gutierrez (2003)

$$D^p = \frac{d\varepsilon_v^p}{d\varepsilon_q^p} = \frac{\eta}{M_p} M_p - \eta$$



Dog's Bay pjesak (Coop, 1990)



Ottawa pjesak (Gutierrez, 2003)

DILATACIJA

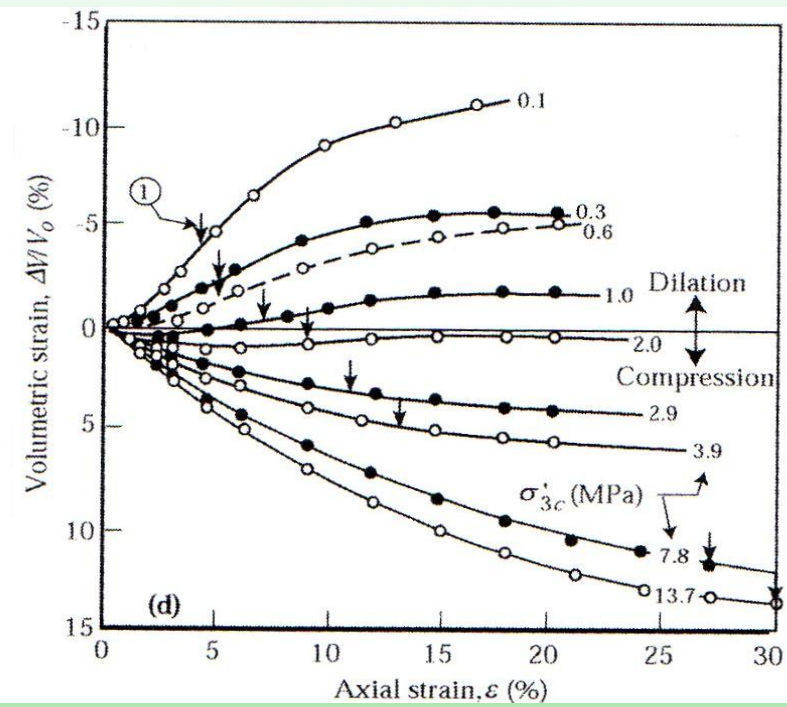
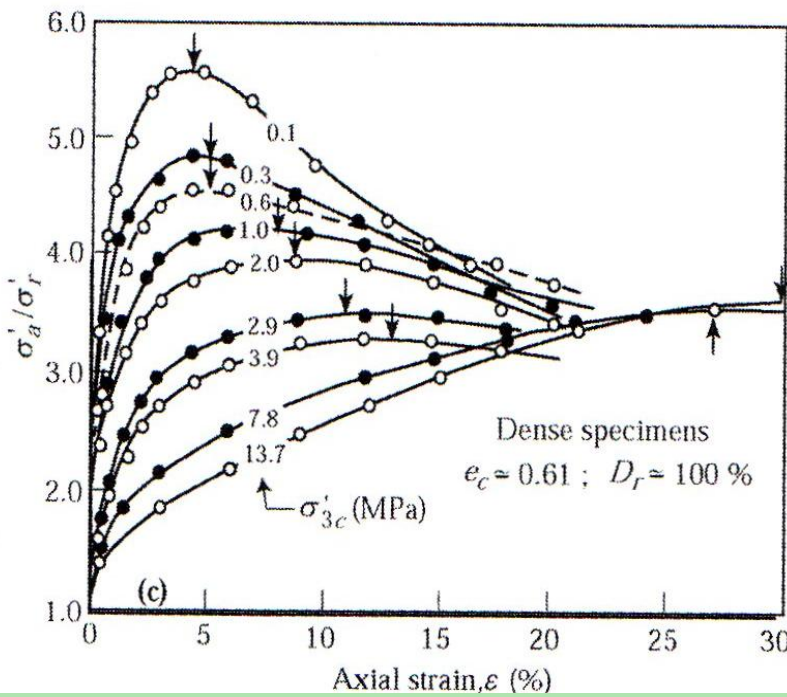
Dilatacija, definirana kao promjena volumena zrnatog tla pri smicanju u dreniranim uvjetima i približno stalnom srednjem efektivnom naprezanju, jedan je od temelja mehanike kritičnih stanja. Samu je pojavu dilatacije opisao već Reynolds (Reynolds, 1885). Mnogi istraživači su kasnije istraživali pojavu, pa tako Taylor (Taylor, 1948), uočivši da je trenje među česticama pijeska znatno manje nego kut trenja mase pijeska, uvodi, korekcijom potrošene energije, vezu između globalnog kuta trenja pijeska, kuta trenja među česticama i dilatacije. Tu ideju je dalje razradio Rowe (Rowe, 1962) pokazavši da intenzitet dilatacije ovisi o kvocijentu najvećeg i najmanjeg glavnog efektivnog naprezanja. Rowe je u svojoj analizi krenuo od pretpostavke da će u zrnatom tlu odnos uložene i utrošene energije biti minimalan. De Joselin de Jong (De Joselin de Jong, 1976) je, međutim, pokazao da izraz za dilataciju, do kojeg je došao Rowe, mora vrijediti samo zbog pojave trenja i ravnoteže čestica i da pretpostavka o minimumu energije nije potrebna. Collins i dr. (2007) dilataciju su okarakterizirali kao interno ograničenje u deformiranju zrnatih materijala te ukazali na potrebu identifikacije dvaju mehanizama koji utječu na njegovo mehaničko ponašanje: dilataciju kao posebnost zrnatih materijala, i deformaciju neprekidne sredine jedinstvenu za sve materijale.

DILATACIJA

Već je Rowe bio svjestan da eksperimenti malo odstupaju od njegove teorije ako se za trenje među česticama stavi nezavisno mjereni stvarni kut trenja. Zbog toga on predlaže da se za kut trenja među česticama stavi neki ekvivalentni kut trenja po veličini između stvarnog i onog globalnog za kritično stanje. Prema Roweu za zbijene pjeske taj je ekvivalentni kut bliži stvarnom kutu trenja među česticama, dok je za rahle on bliži kritičnom kutu trenja. Pri tome stvarni kut trenja među česticama ovisi o veličini sile na kontaktima, a time o veličini zrna. Za kvarcna zrna veličine prašine on iznosi oko 30^0 , za sitan pjesak oko 28^0 , za srednji oko 25^0 , a za krupni oko 22^0 (Rowe, 1962). S druge strane, neka druga istraživanja ne podržavaju ove nalaze (Ventouras, 2005). Kasnije su istraživači pokušali na razne načine opisati ovisnost dilatacije o kvocijentu naprezanja i zbijenosti pjeska. Pri provjeri tih zakonitosti poteškoću čini činjenica da je dilatacija izražena kao derivacija volumenske deformacije po devijatorskoj deformaciji kao varijabli. Obzirom da po prirodi mjerni instrumenti daju diskrete podatke volumenskih i devijatorskih deformacija koje su po sebi već opterećeni neizbjježnim mernim pogreškama, određivanje derivacije je vrlo nepouzdano i otežava interpretaciju osobito pri manjem omjeru naprezanja. Sve u svemu, konačni analitički oblik ovisnosti dilatacije o kvocijentu naprezanja i zbijenosti pjeska još nije dobio konsenzus istraživača.

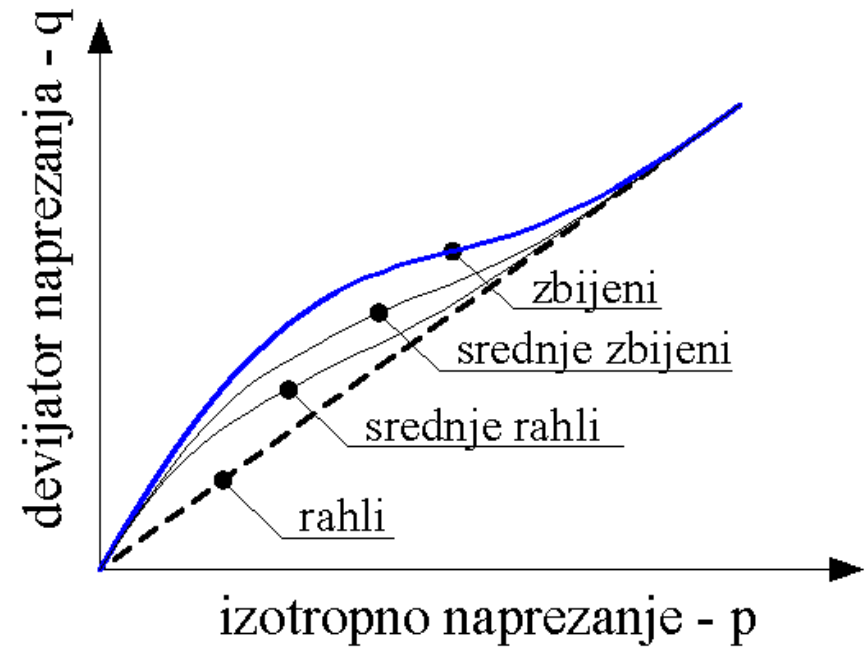
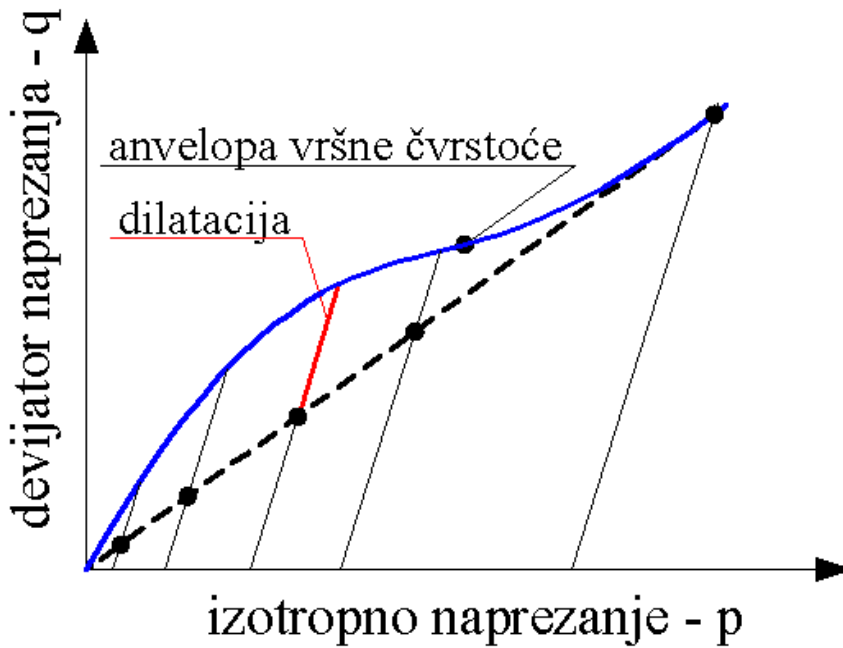
VRŠNA ČVRSTOĆA

Vršna čvrstoća je **maksimalna čvrstoća** koju pjesak postiže uslijed smicanja pri određenoj zbijenosti i određenom izotropnom naprezanju. Javlja se kod **zbijenih materijala**, međutim isčezava s povećanjem izotropnog naprezanja.



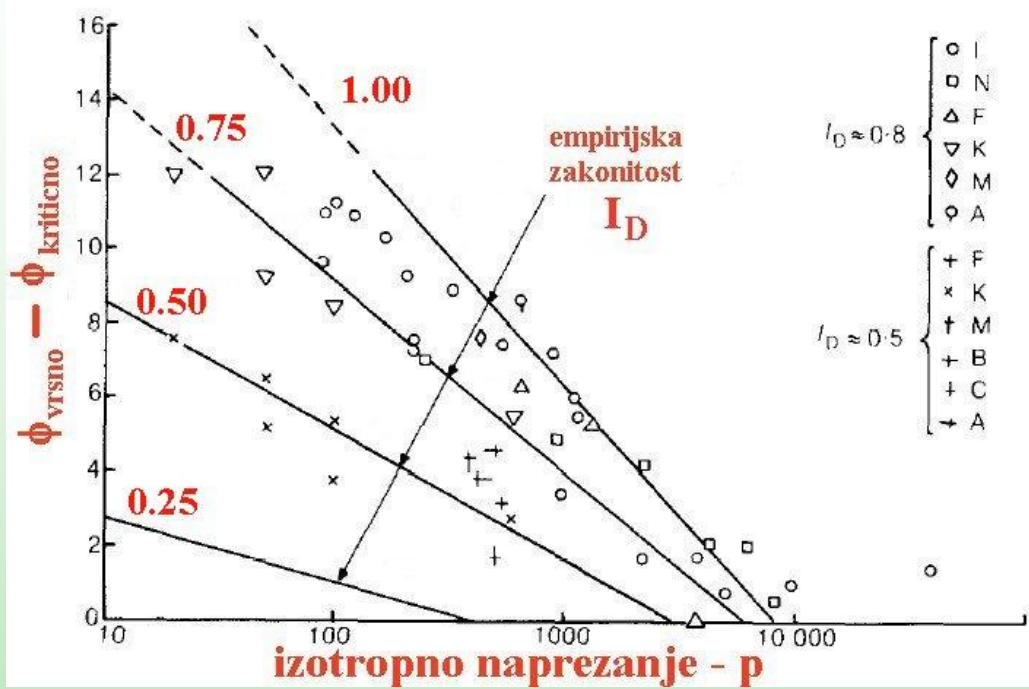
Sacramento River pjesak, Lee (1965)

VRŠNA ČVRSTOĆA



Vršna čvrstoća i njena ovisnost o dilataciji, srednjem efektivnom naprezanju te stanju zbijenosti materijala

VRŠNA ČVRSTOĆA



Dijagram razlike vršne čvrstoće i čvrstoće za kritično stanje ovisno o zbijenosti i razini izotropnog naprezanja, Bolton (1986)

Analiza ispitivanja 17 različitih pjesaka.

Razlika vršne čvrstoće i čvrstoće za kritično stanje:

$$\varphi'_p - \varphi_c = 3I_R$$

Dilatacijski indeks:

$$I_R = I_D \left[Q - \ln \left(\frac{100p'}{p_A} \right) \right] - R$$

$$I_D = \frac{e_{\max} - e}{e_{\max} - e_{\min}}$$

ČVRSTOĆA

Kada se govori o čvrstoći pjeska treba imati na umu da ona ovisi o uvjetima naprezanja i deformacijama u kojem se nalazi pjesak. Ovisno o veličini deformacije razlikujemo čvrstoću za kritično stanje M_{cv} (koja se javlja pri velikim posmičnim deformacijama $e_q \approx 25\%$) te vršnu čvrstoću M_p koja se za zbijenje pjeske javlja pri znatno manjim posmičnim deformacijama $e_q \approx 3\%$). Pri tome je riječ o čvrstoći koju pjesak postiže u troosnom pokusu koja ujedno ovisi i o smjeru opterećenja, pa tako razlikujemo čvrstoću pjeska za tro-osnu kompresiju M_C , odnosno za tro-osnu ekstenziju M_E . Dodatno, pjesak se u prirodi nalazi u općem stanju trodimenzionalnog naprezanja (tro-osno naprezanje je samo jednostavan slučaj trodimenzionalnog naprezanja) a čvrstoća koju postiže za različito 3D stanje naprezanja opisana je plohom u 3D polju naprezanja. Oblik plohe najčešće se prikazuje u π -ravnini koja je okomita na prostornu dijagonalu glavnih naprezanja, a čvrstoća pjeska $M(\theta)$ opisuje se ovisnom o Lodeovom kutu θ , koji definira smjer naprezanja u π -ravnini. Čvrstoća također ovisi i o uvjetima dreniranosti, pa tako za nedrenirano stanje pjesak u CIU pokusu postiže nedreniranu čvrstoću q_u , koja je za zbijene pjeske znatno veća od drenirane, a za vrlo rahle manja od drenirane.

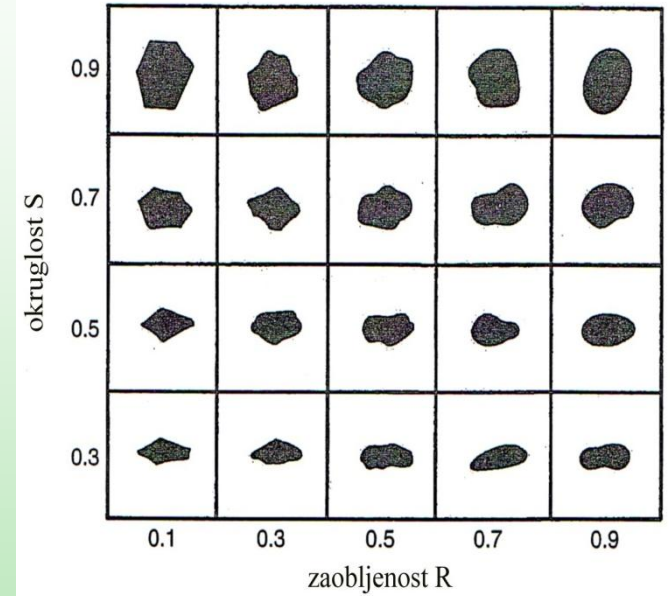
ČVRSTOĆA

Čvrstoća pjeska za kritično stanje

Ispitivanja pokazuju da se čvrstoća pjeska za kritično stanje može vrlo dobro opisati Mohr-Coulombovim pravcem čvrstoće korištenjem kuta unutarnjeg trenja za kritično stanje φ_{cv} , odnosno omjera naprezanja za kritično stanje M_{cv} . Vrijednost kuta unutarnjeg trenja ovisi prvenstveno o obliku čestica pjeska, njihovoj veličini i mineraloškom sastavu te o granuloemtrijskom sastavu. Tipične vrijednosti kreću se oko 40° za dobro graduirane, uglate kvarcne pjeska, 36° za uniformne djelomično zaobljene kvarcne pjeske te 32° za uniformne okrugle kvarcne pjeske. Istraživanja koja su proveli Santamarina i Cho (2004) na velikom broju različitih tipova pjesaka, pokazuju da kut unutarnjeg trenja za kritično stanje ovisi prvenstveno o zaobljenosti zrna pjeska i može se procijeniti prema izrazu:

$$\varphi_{cv} = 42 - 17R$$

gdje je R zaobljenost zrna pjeska koja se definira kao omjer prosječnog polumjera zakrivljenosti površine zrna i polumjera najveće kugle koja se može u zrnu opisati.



Karakterizacija oblika zrna pjeska
(Santamarina & Cho 2004)

ČVRSTOĆA

Vršna čvrstoća pjeska u tro-osnom pokusu smicanja

Vršna čvrstoća pjeska u tro-osnom pokusu smicanje često se izražava u normaliziranom obliku kao vršna vrijednost odnosa devijatora naprezanja q i srednjeg efektivnog naprezanja p' koju pjesak doživljava u pokusima tro-osnog monotonog smicanja. Ako se sa q_p označi vršna vrijednost devijatora naprezanja, tada normalizirana vršna čvrstoća iznosi:

$$M_p = \frac{q_p}{p'}$$

Parametar M_p povezan je sa vršnim efektivnim kutom trenja φ'_p preko poznatog izraza:

$$M_p = \frac{6 \sin \varphi'_p}{3 - \sin \varphi'_p}$$

Vršna čvrstoća kod zbijenog pjeska veća je od čvrstoće za kritično stanje, a rezultat je različitih utjecaja koji se javljaju prilikom smicanja zrnatog materijala pjeska među koje spadaju kontaktno trenje među česticama pjeska, preraspodjela čestica, drobljenje zrna te dilatacija. S obzirom da se trenje među česticama i kut unutarnjeg trenja za kritično stanje mogu smatrati konstantnim za dani pjesak, glavni utjecaj na pojavu vršne čvrstoće ima dilatacija pjeska. Ispitivanja pokazuju da taj doprinos ovisi o zbijenosti pjeska te o srednjem efektivnom naprezanju.

ČVRSTOĆA

U pravilu vršna čvrstoća se povećava sa povećanjem zbijenosti, a smanjuje sa povećanjem srednjeg efektivnog naprezanja. Vršna čvrstoće često se izražava slijedećim izrazima:

$$\varphi_p = \varphi_{cv} + \Delta\varphi$$

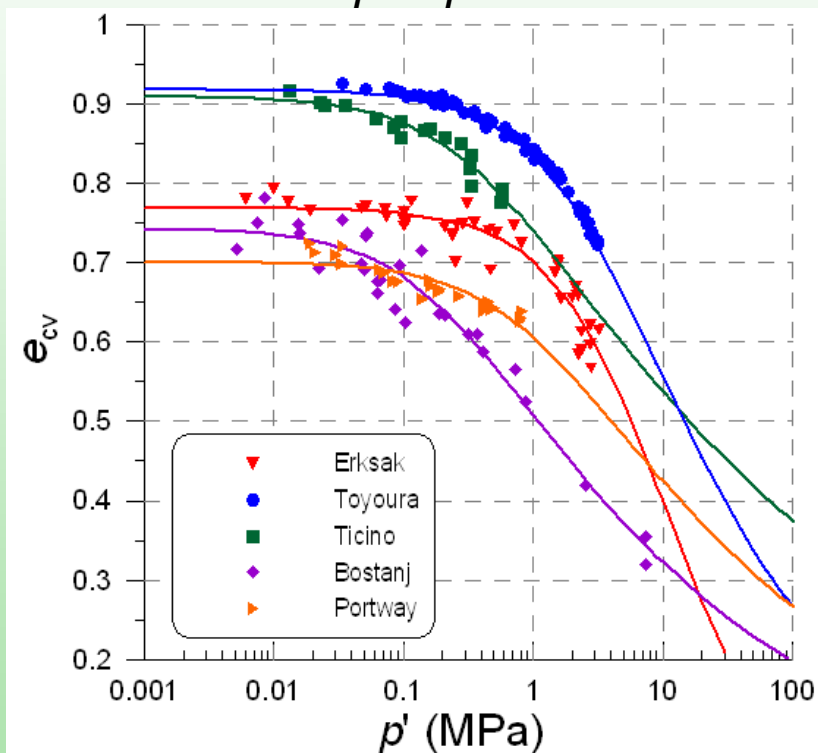
$$M_p = M_{cv} + \Delta M$$

Najopsežnije istraživanja utjecaja koeficijenta pora i srednjeg efektivnog naprezanja na efektivni sekantni kut trenja objavio je Bolton (Bolton, 1986; Bolton, 1987). Najnovija istraživanja vršne čvrstoće pijeska proveli su u duhu teorije kritičnog stanja Jefferies & Been (2006) te su pokazali da se vršna čvrstoća može definirati kao linearna zavisnost o parametru stanja pijeska.

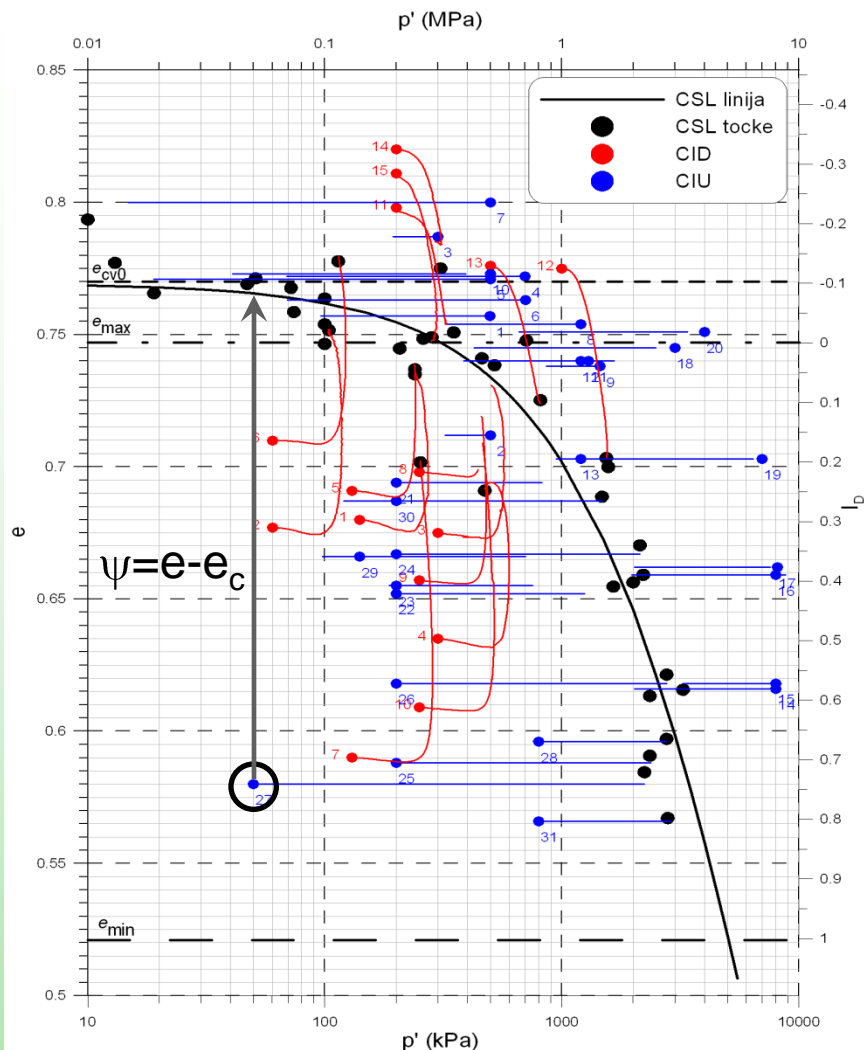
KRITIČNO STANJE

Kritično stanje je stanje u kojem se pjesak kontinuirano smiče jednakom brzinom bez promjene naprezanja i bez promjene volumena.

$$\delta V = \delta q = \delta p = \delta e = 0$$



Kritično stanje za razne pjeske



Kritično stanje za Erksak pjesak;
CID i **CIU** pokusi e – p' dijagramu;
parametar stanja - ψ

KRITIČNO STANJE - likvefakcija



Niigata potres 1964

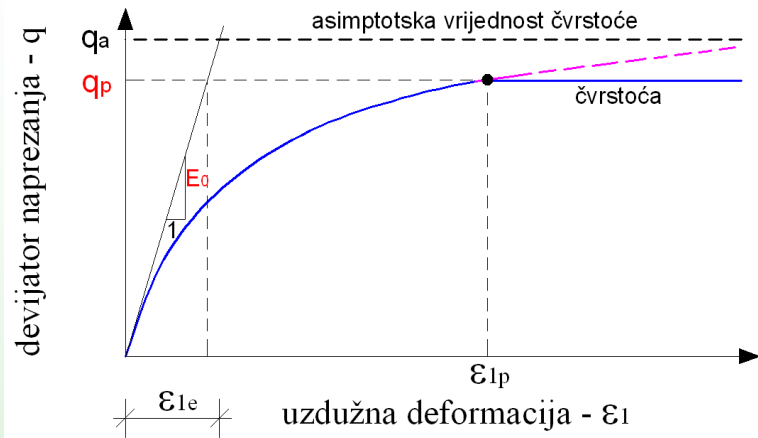
Potres koji se dogodio u Niiagati 1964 god. oštetio je veliko područje na zapadnoj obali Japana. Epicentar potresa bio je udaljen oko 35 km od središta grada, a snaga potresa 7.3 prema Richterovoj skali.

Grad Niiagata leži na ušću rijeke Shinano. Geotehnički profil tla ispod grada sadrži naslage finog aluvijalnog pijeska debljine oko 30 m. Oštećenja na objektima rezultat su pojave likvefakcije u plićim zonama tla. Zbog sloma temeljnog tla u zoni likvefakcije došlo je do rušenja objekata, koji su se nagnuli i do 80 stupnjeva. Podzemni objekti (septičke jame, rezervari, kanalizacija isl.) isplivali su tokom potresa na površinu terena.

KRITIČNO STANJE

Kritično stanje zrnatih materijala obično se definira kao stanje zbijenosti, uglavnom izraženo koeficijentom pora, i stanje efektivnih naprezanja pri kojem zrnatni materijal podnosi veće smicanje bez promjene zbijenosti i bez promjene naprezanja. Koeficijent pora u kritičnom stanju naziva se kritičnim koeficijentom pora. Prvi ga je opisao Casagrande kao temeljno svojstvo pijesaka (Casagrande, 1936). Kasnije je razvijen niz modela temeljen na pojmu kritičnog koeficijenta pora, počevši s Roscoem, Schofieldom i Wrothom (Roscoe i dr. 1958), nazvani zajedničkim imenom „**mehanika tla kritičnog stanja**“ (Schofield & Wroth, 1968; Wood, 1990). Ovi su se modeli prvenstveno bavili glinama da bi kasnije, uz odgovarajuća proširenja, sve bolje opisivali i pijeske (Jefferies M. G., 1993; Jefferies & Been, 2006). Nit vodilja u tim modelima je uvjetovanost ponašanja tla njegovim stanjem, izraženog koeficijentom pora i srednjim efektivnim naprezanjem, relativno u odnosu na kritično. Kritično je stanje opisano kritičnim koeficijentom pora ovisnim o srednjem efektivnom naprezanju i konstantnim efektivnim kutom trenja . Ovisnost kritičnog koeficijenta pora o srednjem efektivnom naprezanju opisali su Roscoe, Shofield i Wroth (1958) kao logaritamsku funkciju. Taj se opis i danas u literaturi pretežno koristi. Been i Jefferies (Been & Jefferies, 1985) uvode pojam parametra stanja kao razlike trenutačnog od kritičnog koeficijenta pora za isto srednje efektivno naprezanje te pokazuju da se pijesci istog parametra stanja ponašaju slično, neovisno o samim veličinama koeficijenta pora ili srednjeg efektivnog naprezanja, te da se neka važna svojstva pijesaka, kao što je razlika vršnog i kritičnog kuta trenja, dobro koreliraju s parametrom stanja. Sve u svemu, mehanika kritičnih stanja postala je osnovna teorija suvremene mehanike tla.

KRIVULJA SMICANJA I REDUKCIJA KRUTOSTI



q_p – vršna čvrstoća ; E_0 – početna krutost

Duncan & Chang (1970) - 'odrezana' hiperbola

$$\frac{q}{q_p} = \frac{\varepsilon_1 / \varepsilon_{1e}}{1 + \varepsilon_1 / \varepsilon_{1e}}$$

$$\varepsilon_{1e} = \frac{q_p}{E_0}$$

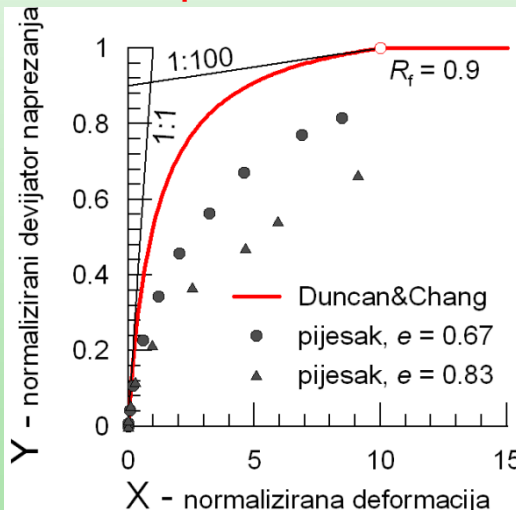
NORMALIZACIJA:

$$x = \frac{E_0 \varepsilon_1}{q_0}$$

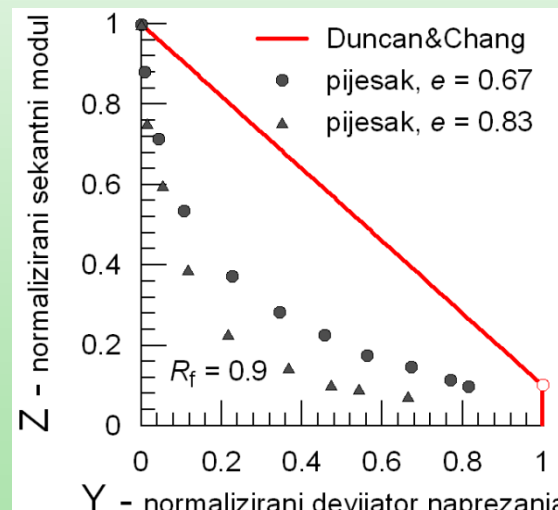
$$y = \frac{q}{q_0}$$

$$z = \frac{E}{E_0} = \frac{y}{x}$$

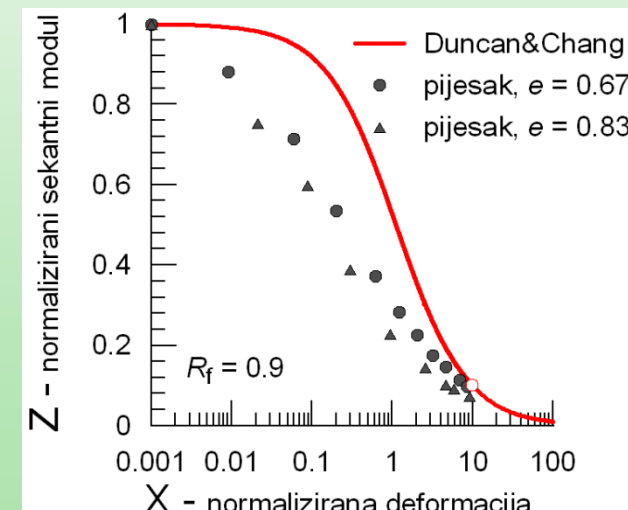
Različiti prikazi NORMALIZIRANE KRIVULJE



'velike' deformacije

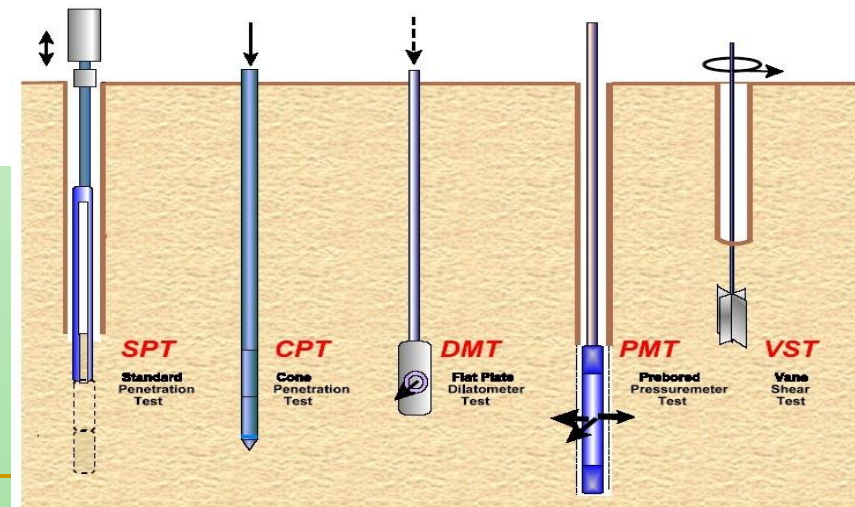
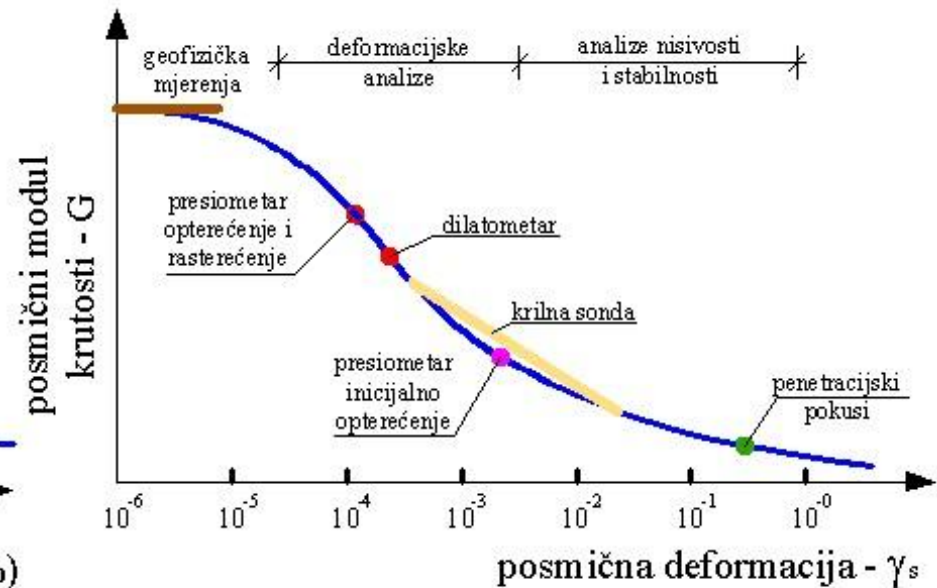
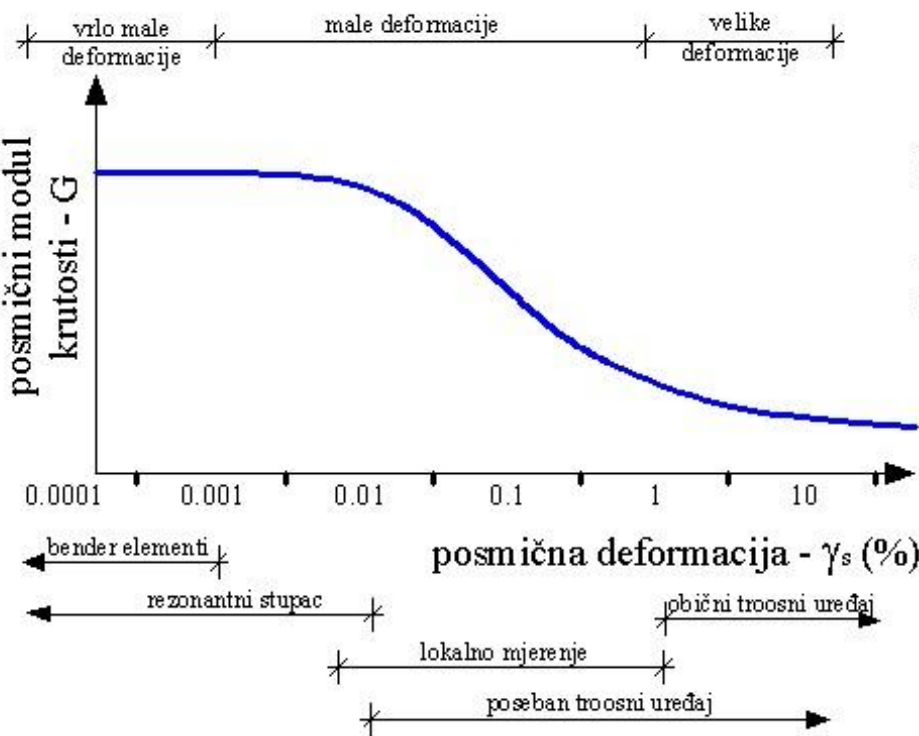


'srednje' deformacije



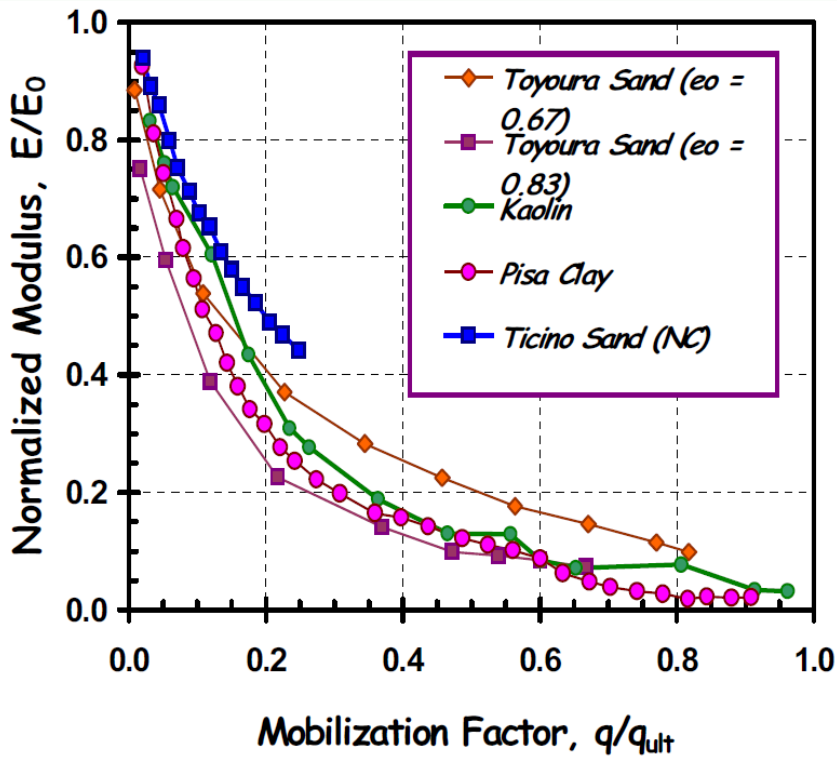
'male' deformacije

KRIVULJA SMICANJA I REDUKCIJA KRUTOSTI

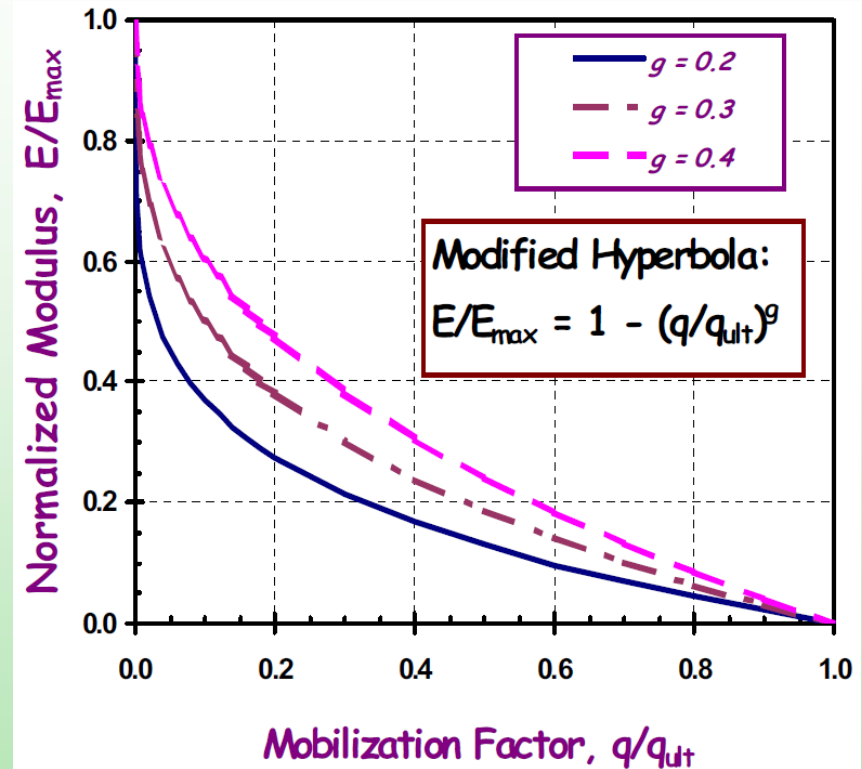


- Laboratorijska ispitivanja (Atkinson i Sallfors 1991)
- Terenski istražni radovi (Mayne 2001) + pokusi

KRIVULJA SMICANJA I REDUKCIJA KRUTOSTI



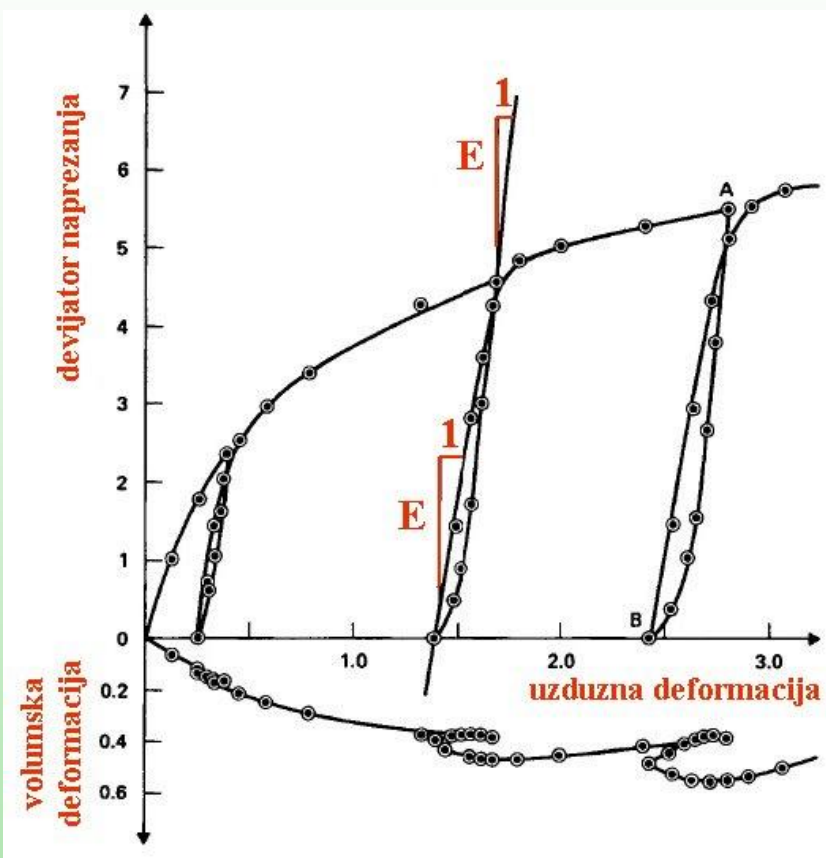
Dijagram redukcije krutosti za različite vrste tla (Mayne 2001)



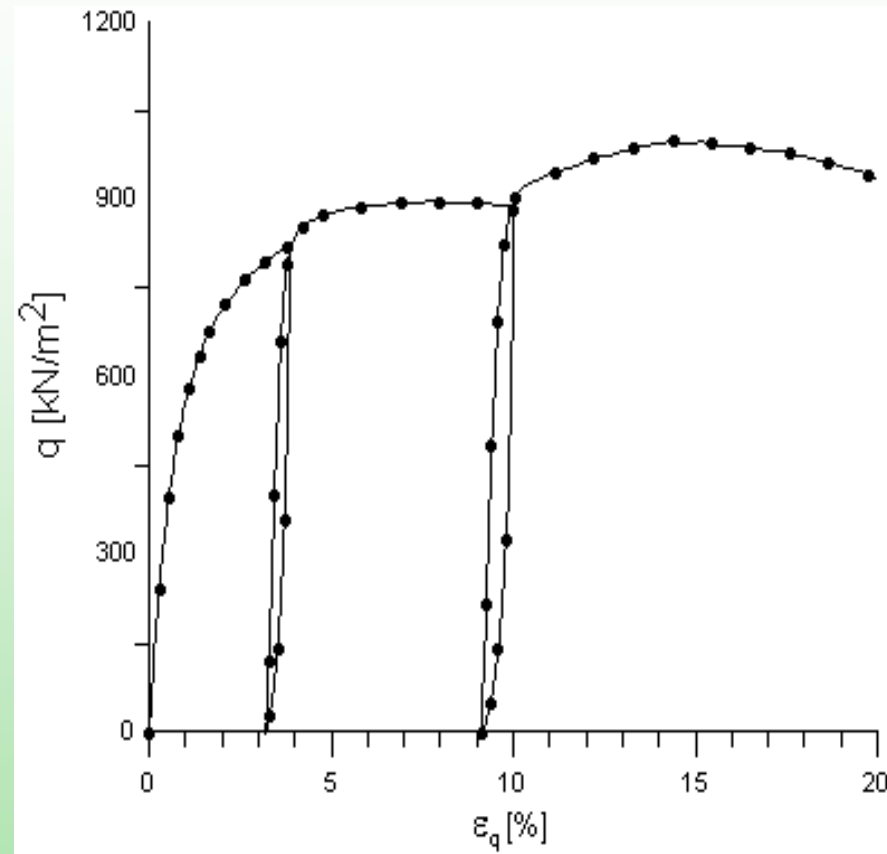
Funkcija redukcije krutosti prema Fahey & Carter za $f=1$ (Mayne 2001)

KRIVULJA SMICANJA I REDUKCIJA KRUTOSTI

OPTEREĆENJE – RASTEREĆENJE – PONOVNO OPTEREĆENJE



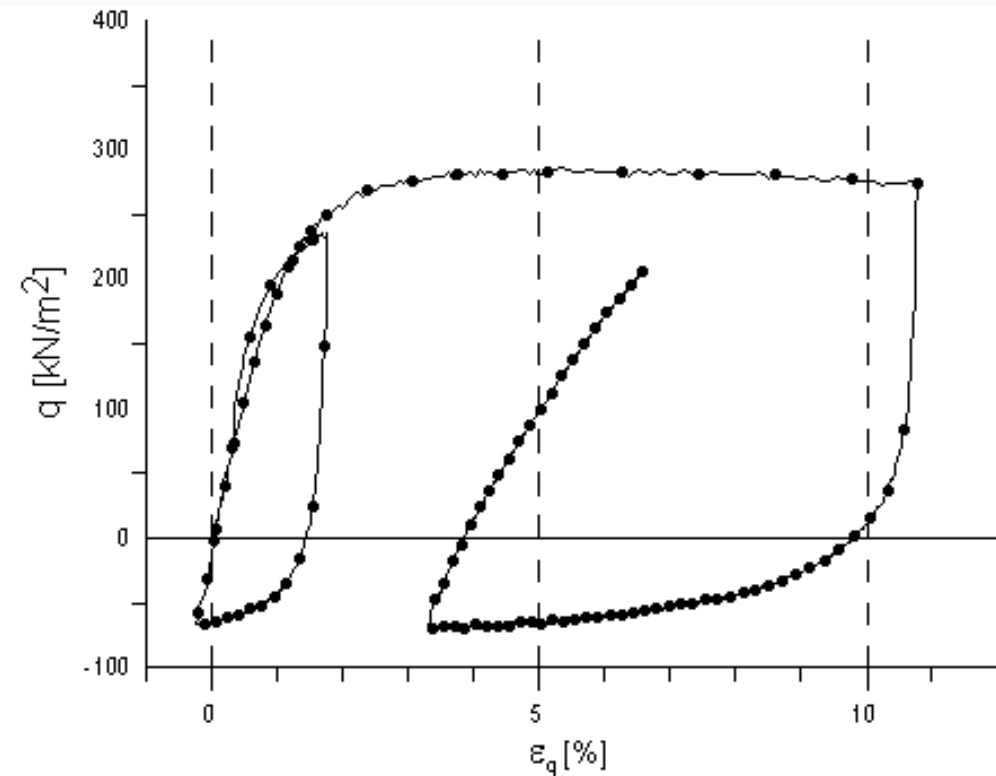
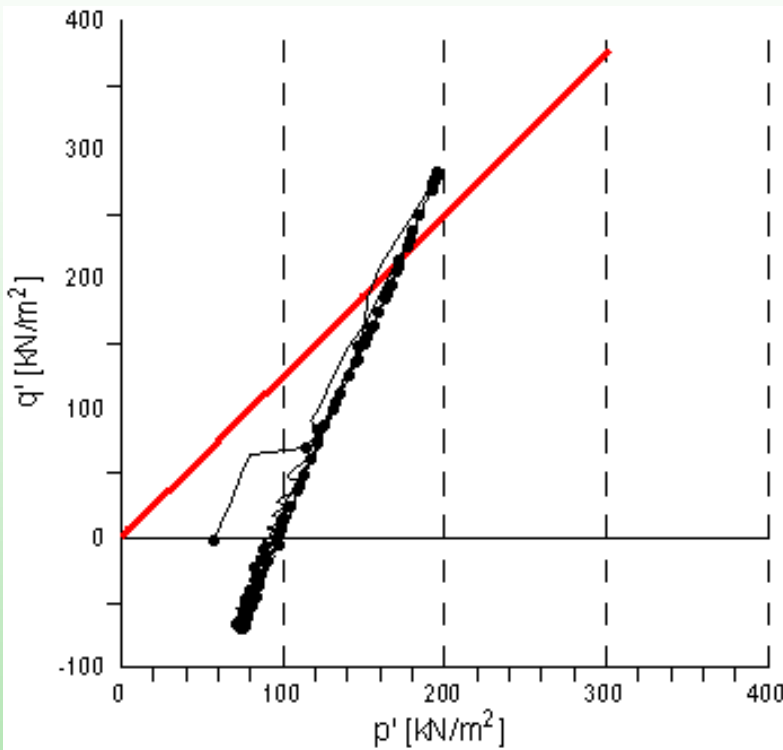
Santa Monica Beach pjesak
(Lade & Nelson, 1987)



Erksak pjesak (Ben & Jefferis 2001)

KRIVULJA SMICANJA I REDUKCIJA KRUTOSTI

OPTEREĆENJE – RASTEREĆENJE DO EKSTENZIJE – PONOVNO
OPTEREĆENJE



Primjer smicanja pijeska u nekoliko faza: opterećenje do sloma u kompresiji, rasterećenje do sloma u ekstenziji, ponovno opterećenje (Erksak pijesak). U pokusu se jasno vidi **histereza** karakteristična za smicanje plastičnih materijala.

KRIVULJA SMICANJA I REDUKCIJA KRUTOSTI

Zakonitost ponašanja pijeska u monotonim dreniranim pokusima tro-osnog tlaka može se najjednostavnije opisati hiperbolnom funkcijom (Kondner, 1963):

$$\frac{q}{q_p} = \frac{\varepsilon_1 / \varepsilon_{1e}}{1 + \varepsilon_1 / \varepsilon_{1e}} \quad \frac{E}{E_0} = 1 - \left(\frac{q}{q_p} \right)$$

Duncan i Chang (Duncan & Chang, 1970) su predložili malu prilagodbu Kondnerovog izraza kako bi bolje opisali odnos devijatora naprezanja i vertikalne deformacije u dreniranim pokusima tro-osnog tlaka:

$$\frac{q}{q_p} = \frac{\varepsilon_1 / \varepsilon_{1e}}{1 + R_f \varepsilon_1 / \varepsilon_{1e}} \quad \frac{E}{E_0} = 1 - R_f \left(\frac{q}{q_p} \right)$$

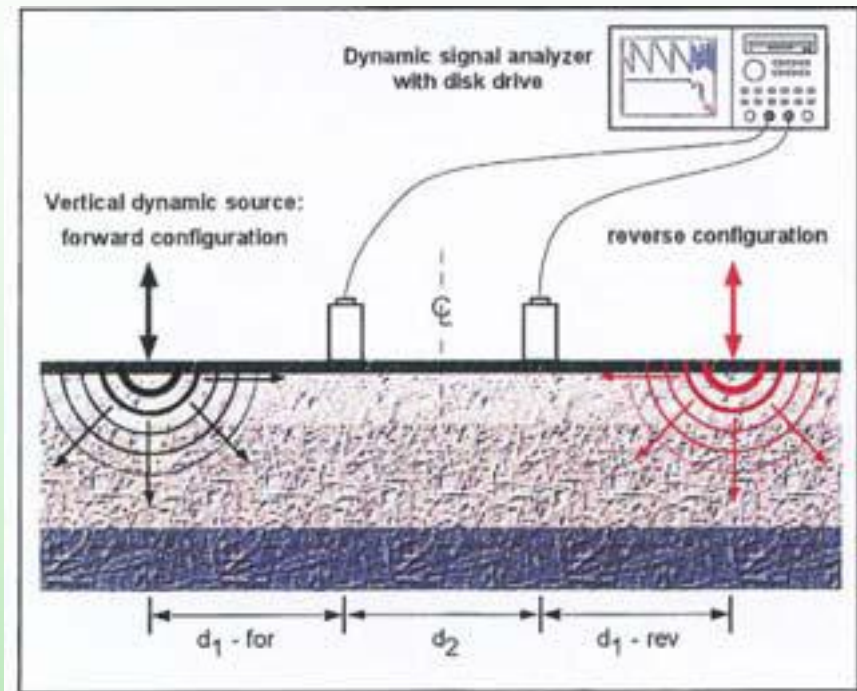
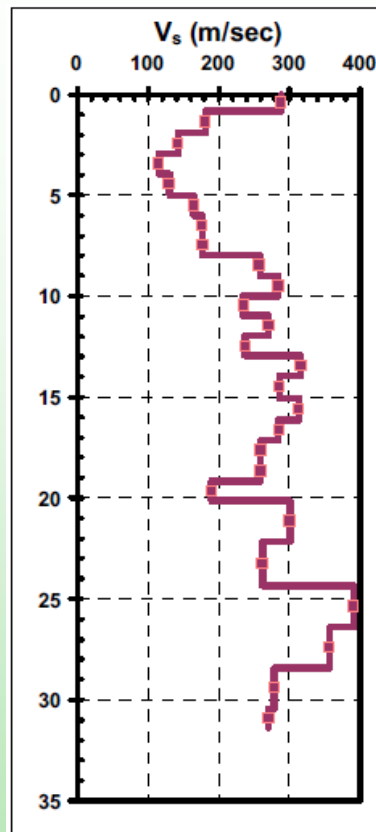
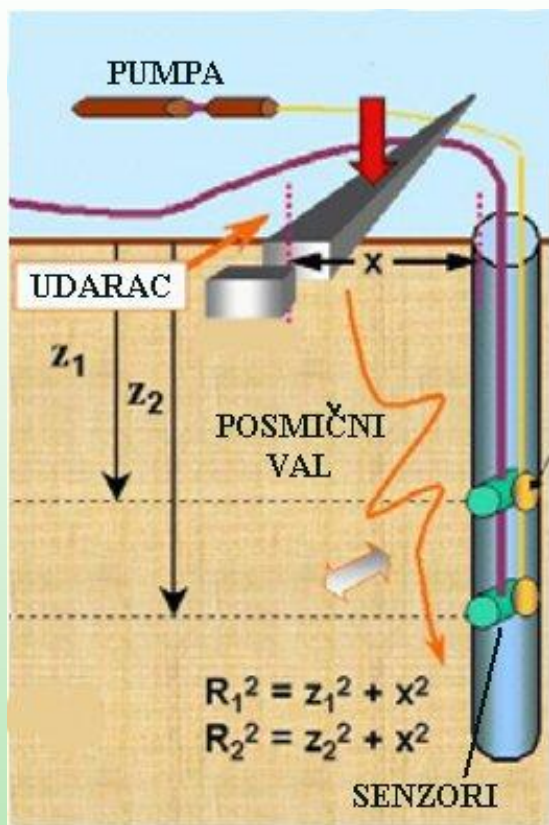
Funkcija Duncana i Chang-a je dugo bila vrlo popularna u praktičnim primjenama, pogotovo u programima konačnih elemenata za simulaciju geotehničkih zahvata. Pri tome je početni (tangentni) modul određivan na način najbolje prilagodbe eksperimentalno utvrđenom odnosu devijator naprezanja i vertikalne deformacije u tro-osnom tlaku. Već se tada uočavalo da je tako utvrđeni modul manji od stvarno mjereno standardnim pokusima u kojima je deformacija uzorka u tro-osnom uređaju mjerena izvan tro-osne ćelije. Uvođenjem tehnologija mjerena vertikalnih deformacija posebnim instrumentima neposredno pričvršćenih na uzorku tla u tro-osnoj ćeliji (Jardine i dr. 1984; Clayton & Khartush, 1986; Goto i dr. 1991) pokazalo se da mjerena deformacija izvan tro-osne ćelije bitno podbacuju krutost tla mjerenu instrumentima neposredno na uzorku u ćeliji.

KRIVULJA SMICANJA I REDUKCIJA KRUTOSTI

Saznanje o stvarnoj krutosti tla pri vrlo malim i malim deformacijama izazvalo je pravu malu revoluciju u pogledima na krutost tla, pogotovo na odnos krutosti mjerene u laboratoriju i one interpretirane iz opažanja deformacija tla pri geotehničkim zahvatima na terenu (Burland, 1989), izazvavši brojna eksperimentalna istraživanja koja ni danas nisu izgubila na intenzitetu. Očito je da funkcija Duncana i Changa ne može opisati ta nova saznanja. Iz tog su razloga istraživači pokušali pronaći pogodnije funkcije koje bi bolje opisale ovisnost krutosti o deformaciji ili mobiliziranoj čvrstoći. Među njima se ističu (Puzrin & Burland, 1996) te (Fahey & Carter, 1993). Funkcija Puzrina i Burlanda samo je jednostavnija od nekoliko koje su predložili ti autori. Druge njihove funkcije sastoje se iz nekoliko povezanih segmenata te traže veći broj materijalnih konstanti da bi se dobro prilagodile mjerenim rezultatima. Analize Lo Prestia i dr. (Lo Presti i dr. 1998) pokazala su da višestruke funkcije Puzrina i Burlanda najbolje opisuju eksperimentalne podatke, dok je funkcija Faheya i Cartera u tom pogledu znatno lošija. Njena je prednost manji broj parametara (2 parametra) u odnosu na složenije funkcije:

$$\frac{E}{E_0} = 1 - f \left(\frac{q}{q_p} \right)^g$$

KRUTOST TLA PRI MALIM DEFORMACIJAMA



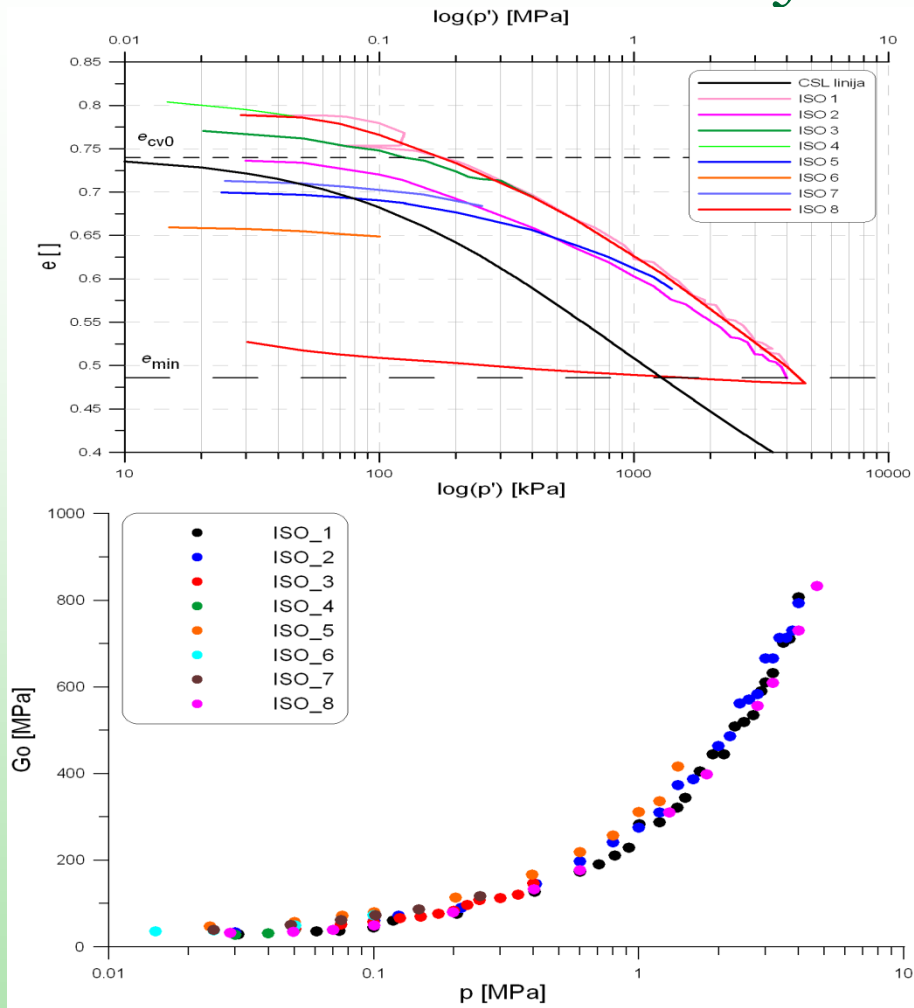
Terensko ispitivanje brzine posmičnih valova v_s : a) down-hole mjerjenje; b) profil brzine posmičnih valova; c) SASW mjerjenje

$$G_0 = \rho v_s^2 \quad ; \quad E_0 = 2G_0(1+\nu)$$

KRUTOST TLA PRI MALIM DEFORMACIJAMA



Laboratorijsko
ispitivanje G_0 (E_0)
- mjerači pomaka
- bender elementi



Izotropna kompresija i mjerjenje G_0 bender elementima
(Boštanj pijesak – Vilhar 2009)

KRUTOST TLA PRI MALIM DEFORMACIJAMA

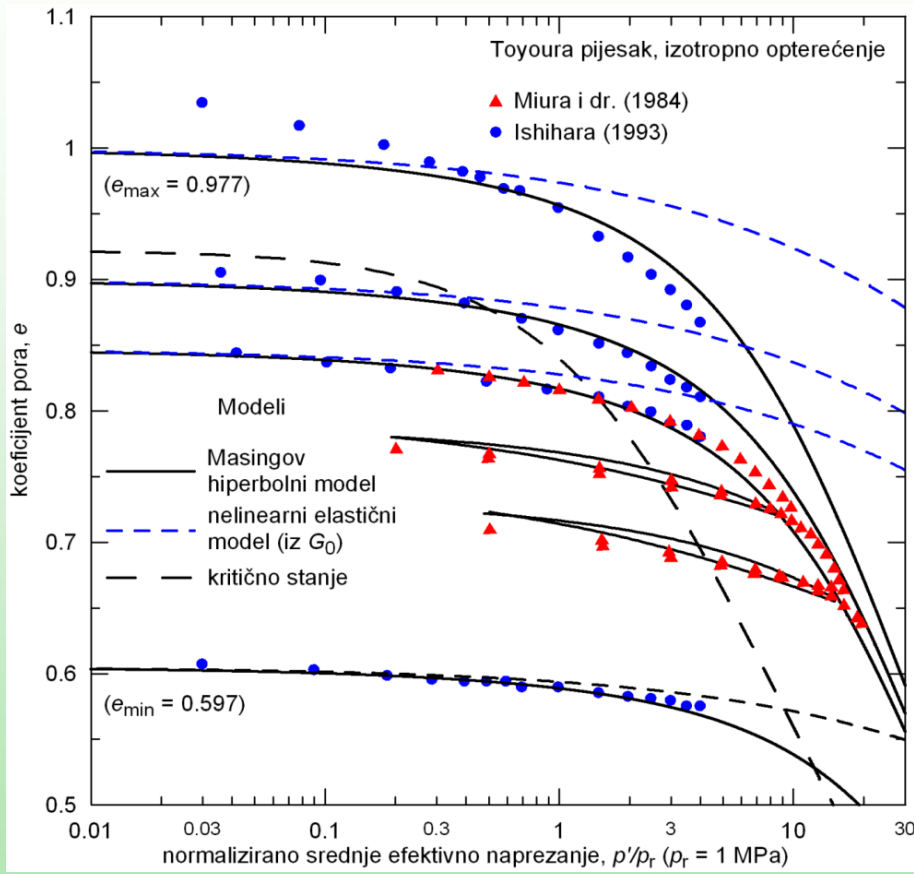
Do sada je predložen niz empiričkih izraza koji definiraju ovisnost posmičnog modula tla pri vrlo malim deformacijama, G_0 o koeficijentu pora e i srednjem efektivnim naprezanjem p' (Mitchell & Soga, 2005). Neke od tih izraza navodi tablica. Oni se svi mogu prikazati u slijedećem obliku:

$$G_0 = Af(e) \left(\frac{p'}{p_{ref}} \right)^m$$

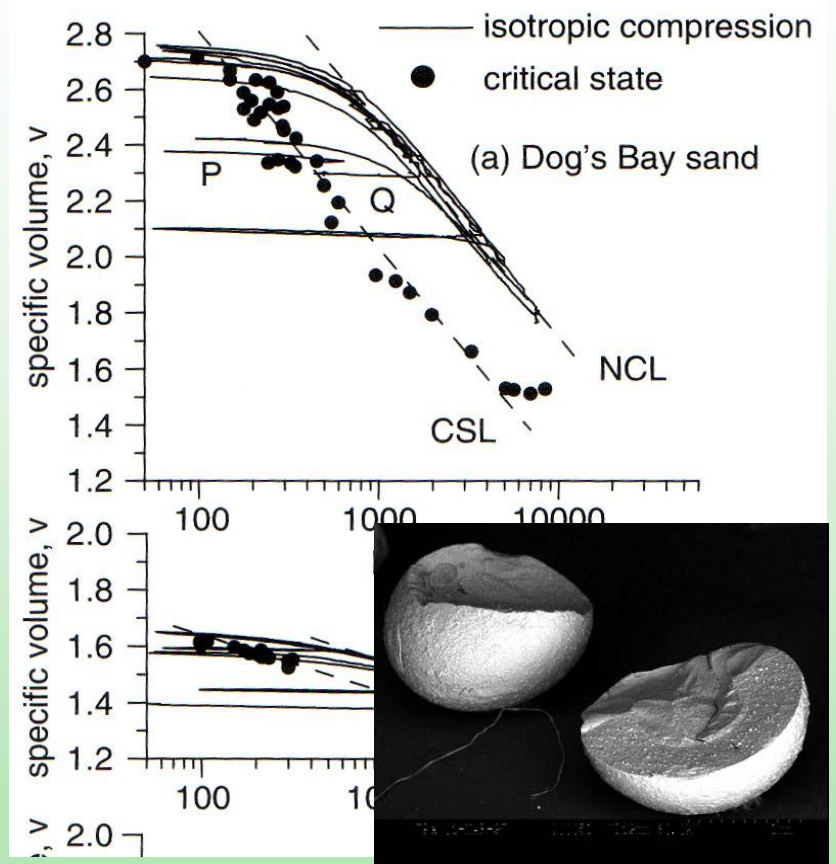
G_0 – modul posmika pri malim deformacijama
 A – konstanta materijala
 $f(e)$ – analitička funkcija koeficijenta pora e
 m – konstanta materijala

pijesak, autori	Cp_r	$F(e_0)$	p_r	m	raspon e_0	G_{r1}	$a_1 = \frac{1}{F(1)} (e_{0r} = 1)$
	MPa	-	MPa	-	-	MPa	-
Ottawa pjeska, obla zrna (Hardin & Richart Jr., 1963)	69	$\frac{(2.17-e_0)^2}{1+e_0}$	0.1	0.5	0.3 – 0.8	47.2	1.461
kvarcni pjesak, drobljeni (Hardin & Richart Jr., 1963)	32.7	$\frac{(2.97-e_0)^2}{1+e_0}$	0.1	0.5	0.6 – 1.3	63.4	0.515
razni pjesaci (Iwasaki, Tatsuoka, & Takagi, 1978)	90	$\frac{(2.17-e_0)^2}{1+e_0}$	0.1	0.4	0.6 – 0.9	61.6	1.461
Toyoura pjesak, polu uglat do polu zaobljen (Kokusho, 1980)	90	$\frac{(2.17-e_0)^2}{1+e_0}$	0.1	0.5	0.6 - 0.8	61.6	1.461
nevezani i slijepljeni pjesaci i šljunci (Jamiolkowski, Leroueil, & LoPresti, 1991), (Pestana & Salvati, 2006) – prema posljednjima, temeljem velike baze podataka, najbolja funkcija F	23 – 180	$\frac{1}{(e_0)^{1.3}}$	0.1	0.5	0.2 – 1.8	23 - 180	1
Ticino pjesak (Lo Presti, Pallara, Lancellotta, Armandi, & Maniscalco, 1993)	71	$\frac{(2.27-e_0)^2}{1+e_0}$	0.1	0.43	0.6 – 0.9	57.2	1.240
pijesci i nisko plastične gline (Hicher, 1996)	60	$\frac{1}{e_0}$	0.1	0.5	0.4 – 1.6	60.0	1

IZOTROPNA KOMPRESIJA



Izotropna kompresija (Toyoura pjesak)

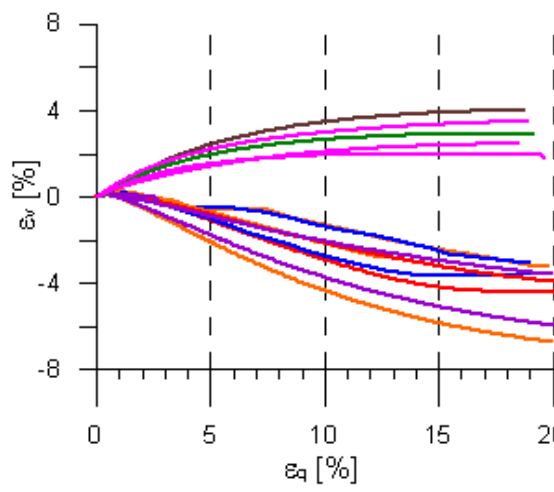
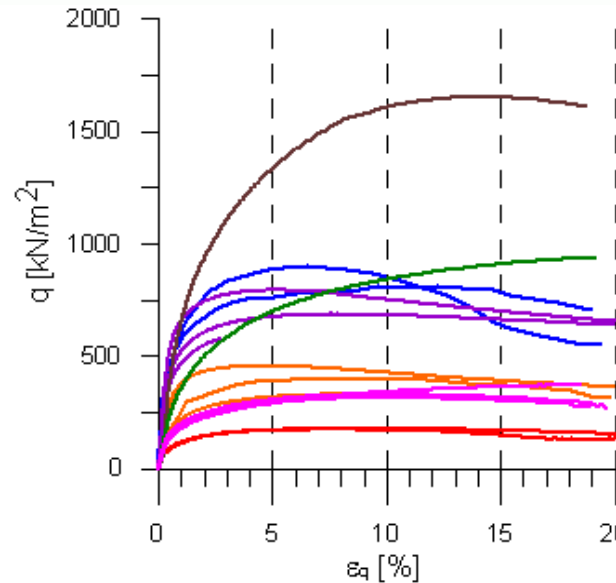
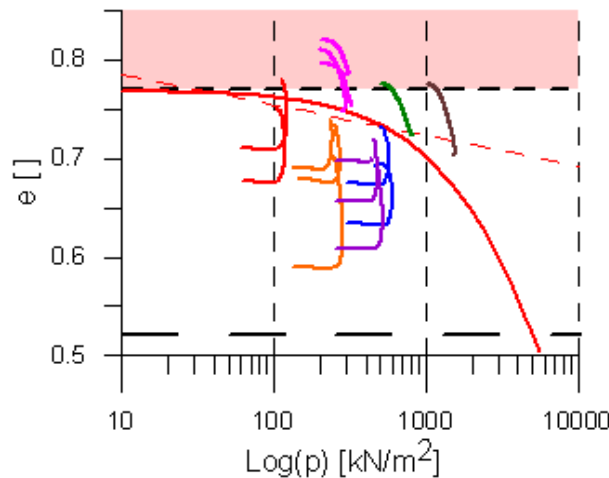
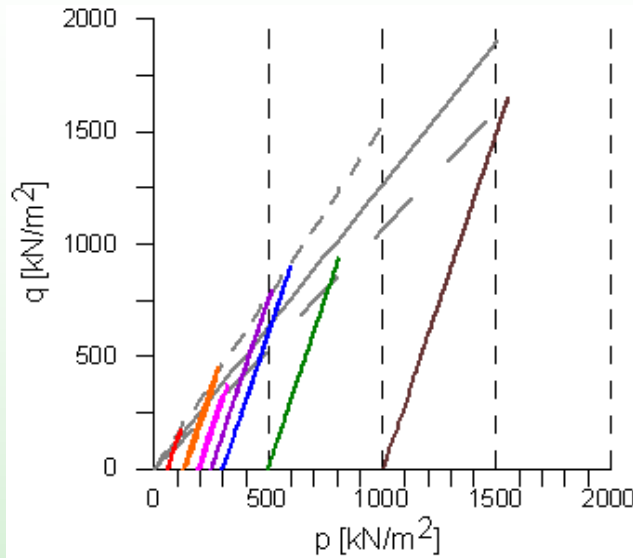


Izotropna kompresija (Dog's Bay pjesak i raspadnuti granit)

IZOTROPNA KOMPRESIJA

Prilikom izotropne kompresije pjeska potrebna je izrazito velika promjena efektivnog naprezanja p' , da bi se značajnije promijenio njegov volumen (Casagrande, 1936), za razliku od glina i prahova gdje se to postiže pri relativno malim promjenama naprezanja. Za malu promjenu izotropnog naprezanja pjesak se ponaša približno elastično, dok se plastične volumenske deformacije počinju javljati tek sa pojmom drobljenja zrna pjeska pri većim naprezanjima, kod kojih se linije izotropne konsolidacije počinju asimptotski približavati liniji normalne kompresije (Coop & Lee, 1993). Iako se skoro kod svakog tro- osnog pokusa provodi faza izotropne konsolidacije, detaljnije ispitivanje ponašanja pjeska u takvim uvjetima vrlo se rijetko spominje u literaturi. Jedan od razloga je spomenuta velika volumenska krutost pjeska pri naprezanjima koja se uglavnom javljaju kod uobičajenih geotehničkih konstrukcija. Također sa povećanjem bočnog efektivnog naprezanja javljaju se poteškoće pri interpretaciji mjerena zbog uvlačenja membrane uzorka među čestice pjeska.

CID POKUSI – Erksak pjesak



Erksak pjesak

opseg ispitivanja:

- 15 CID pokusa

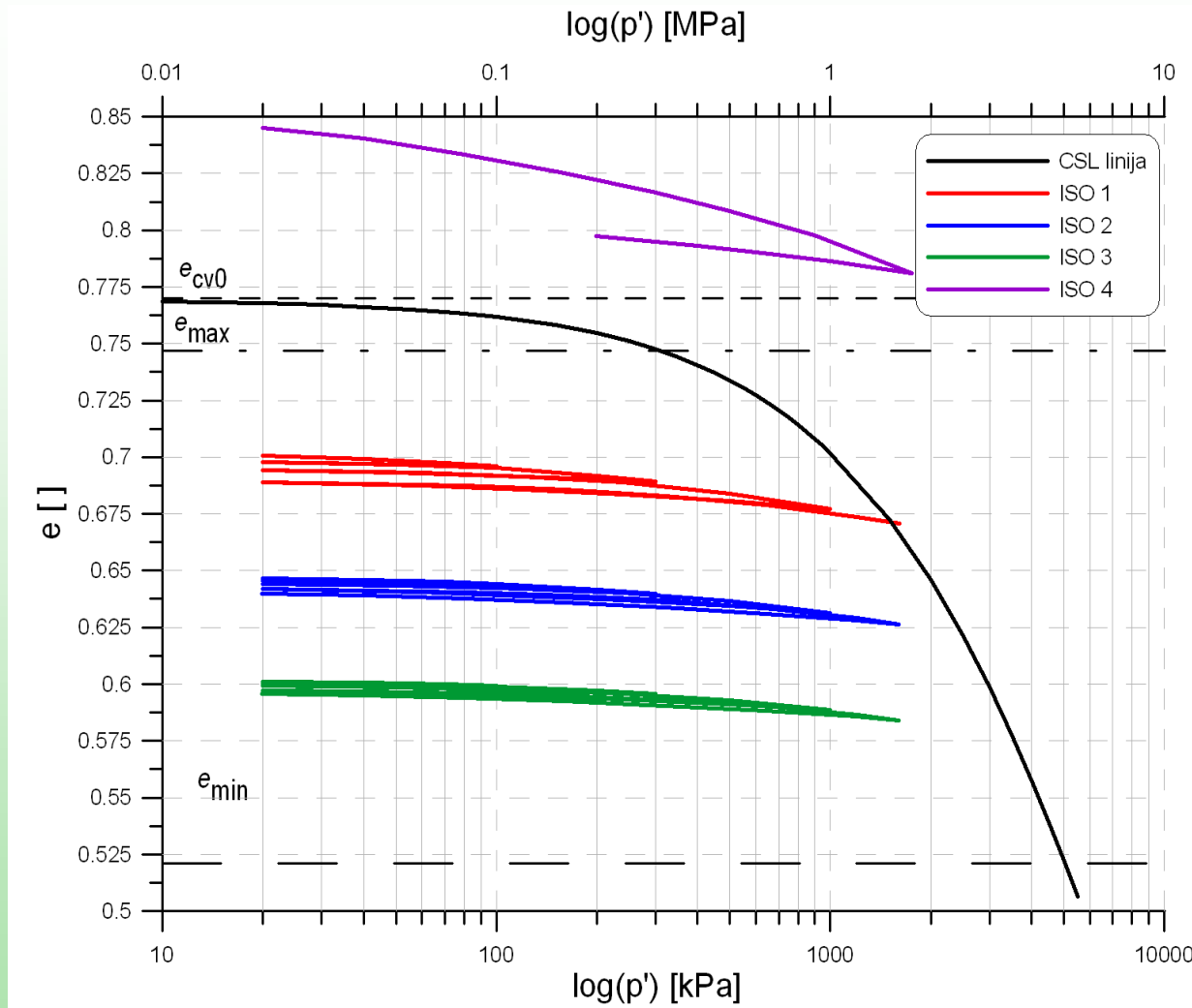
raspon ispitivanja:

- $p = 50$ do 8000 kPa
- $I_D = -20$ do 100%
- $\epsilon_1 = \text{do } 25 \%$

indeks zbijenosti:

$$I_D = \frac{e - e_{\min}}{e_{\max} - e_{\min}}$$

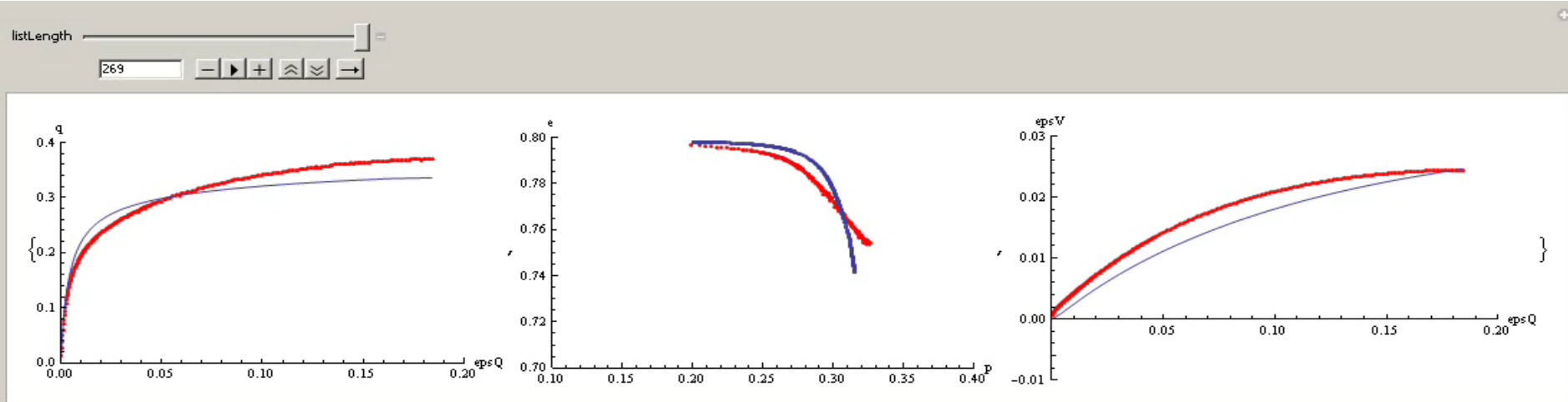
CID POKUSI – Erksak pijesak



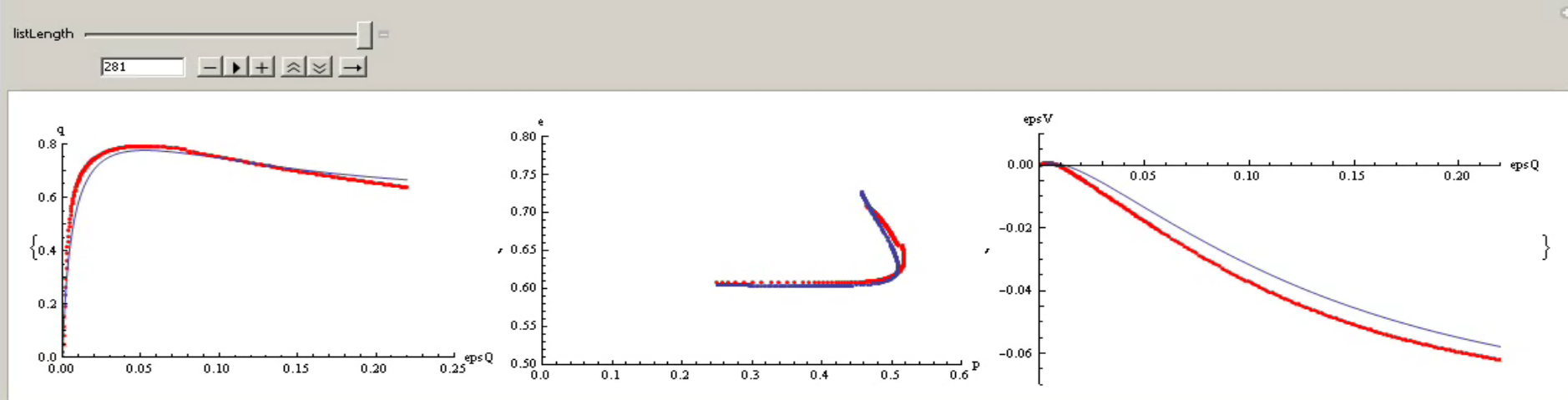
Izotropna kompresija u troosnom pokusu (Erksak pijesak)

CID POKUSI – Erksak pjesak

CID – rahli uzorak

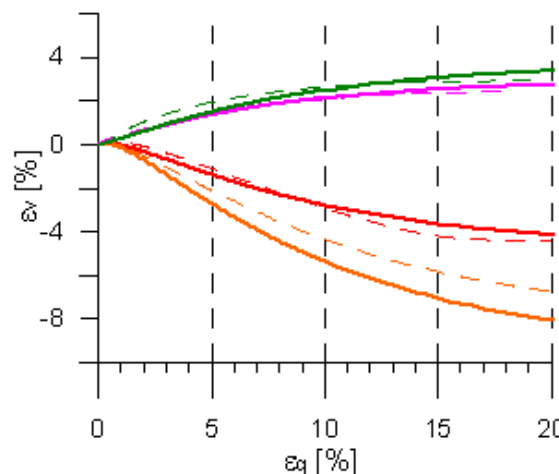
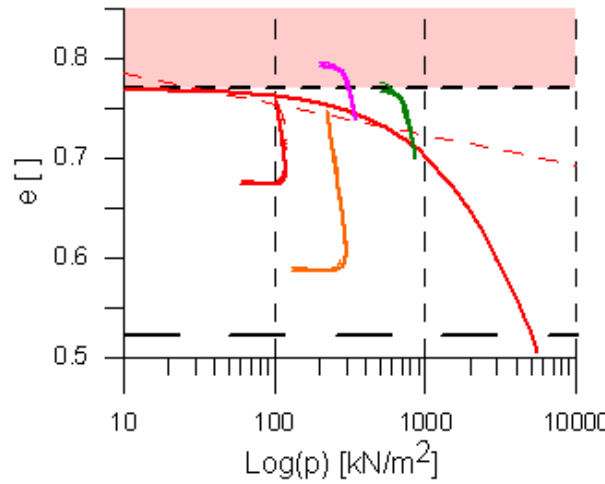
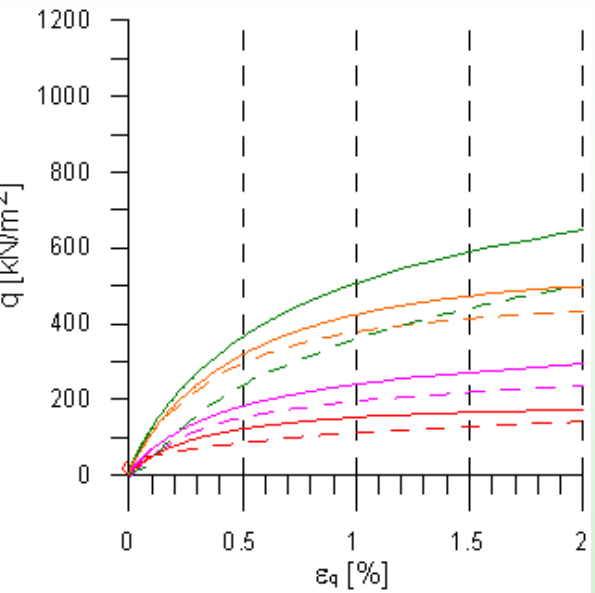
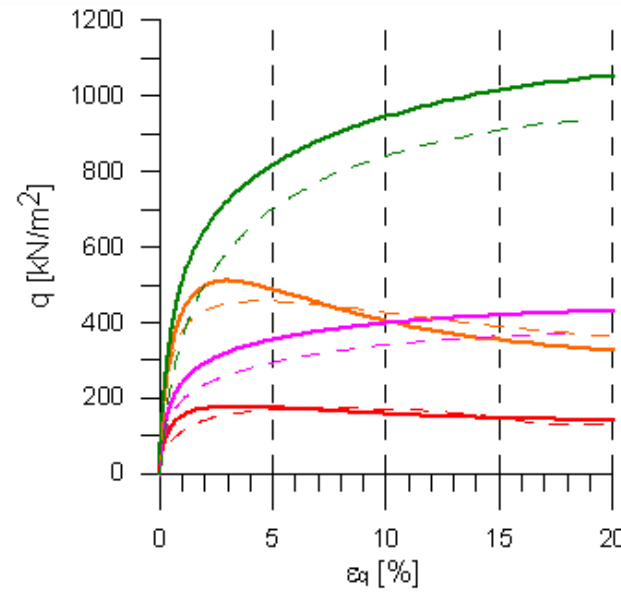
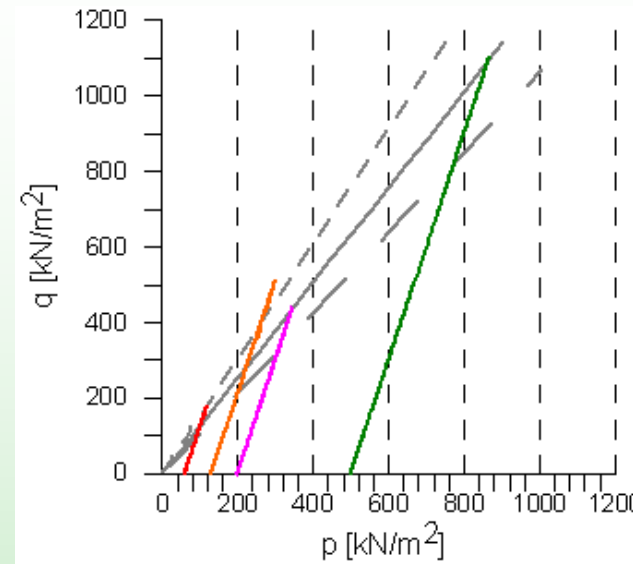


CID – zbijeni uzorak



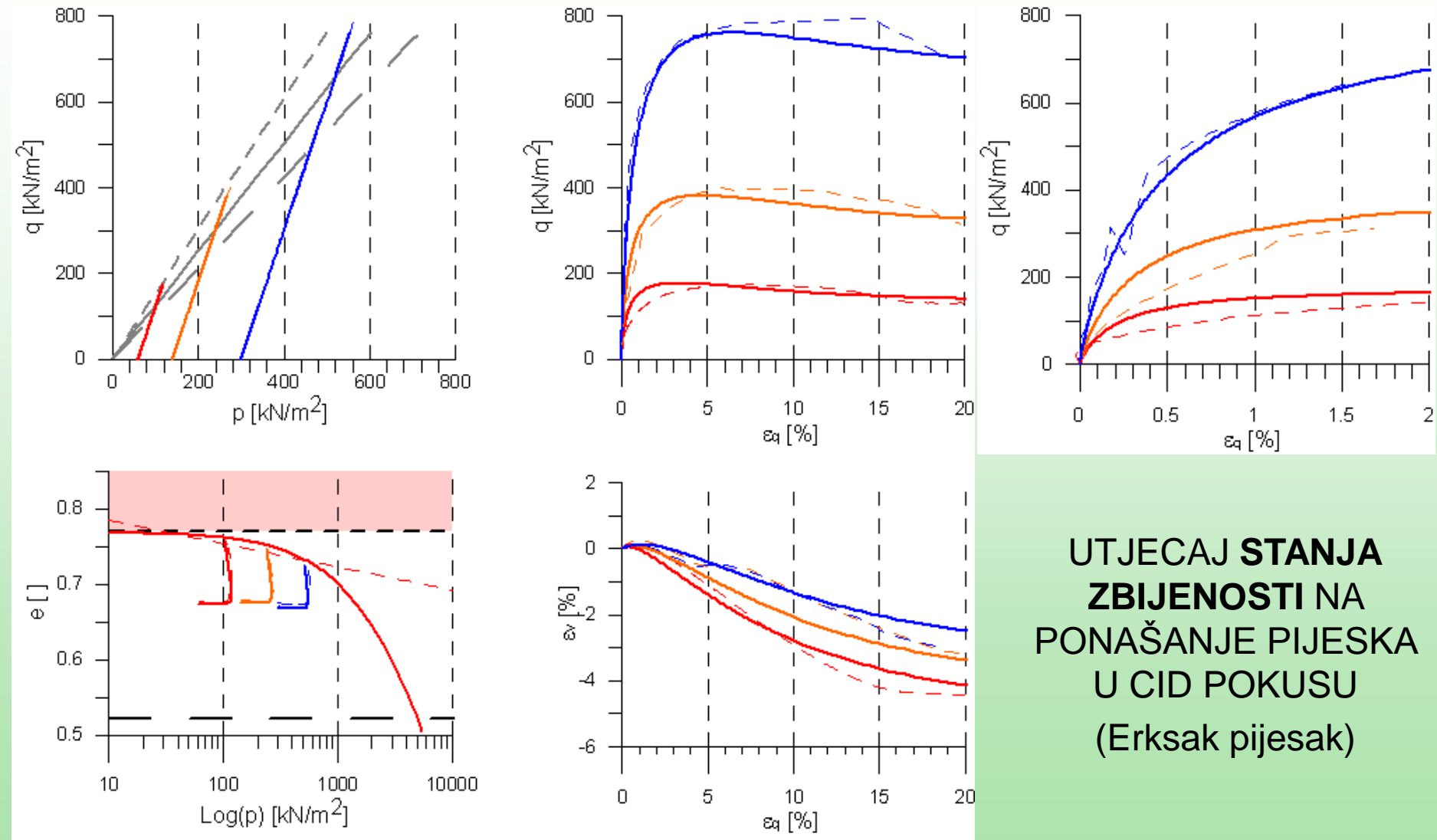
Simulacije CID pokusa Erksak pjesak (Sokolić 2010)

CID POKUSI – Erksak pjesak



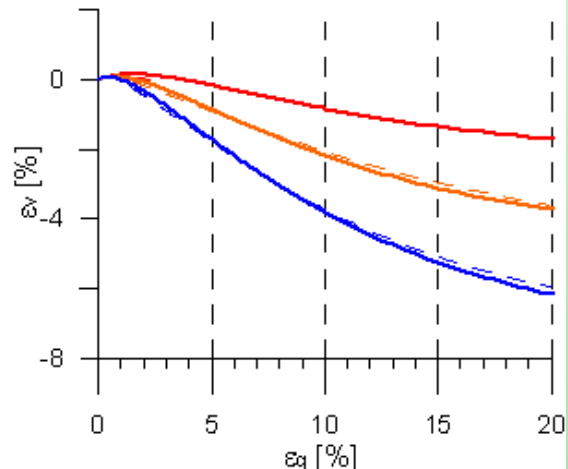
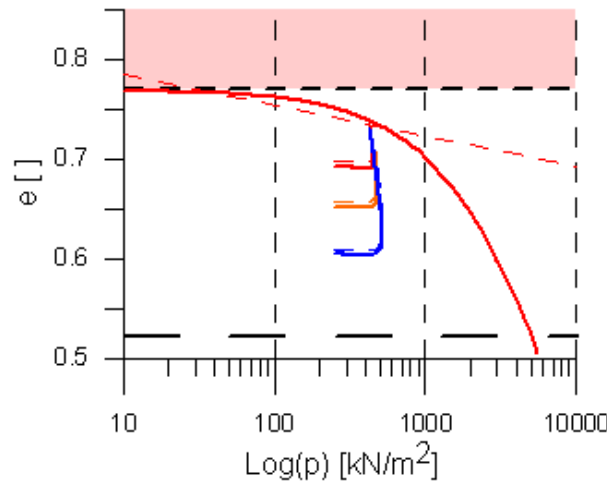
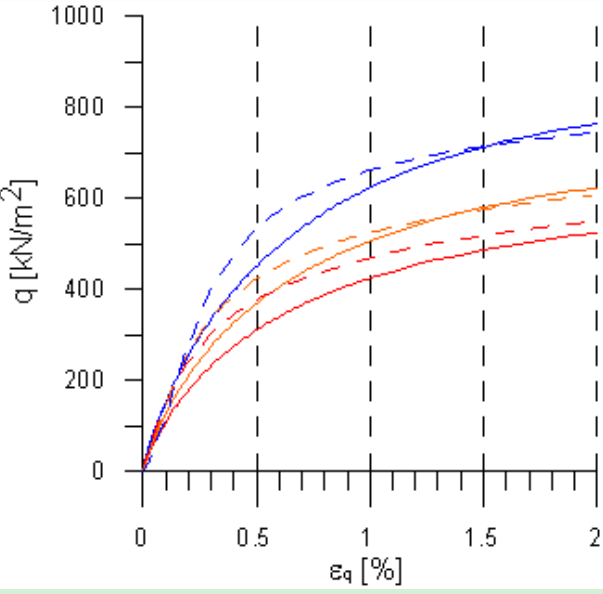
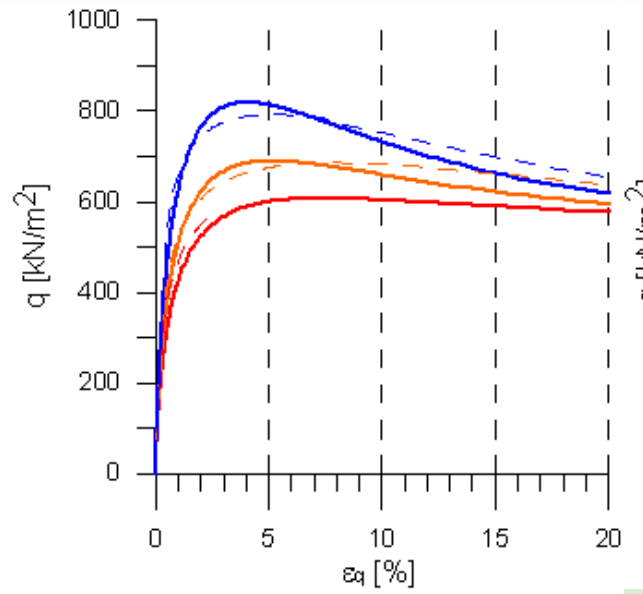
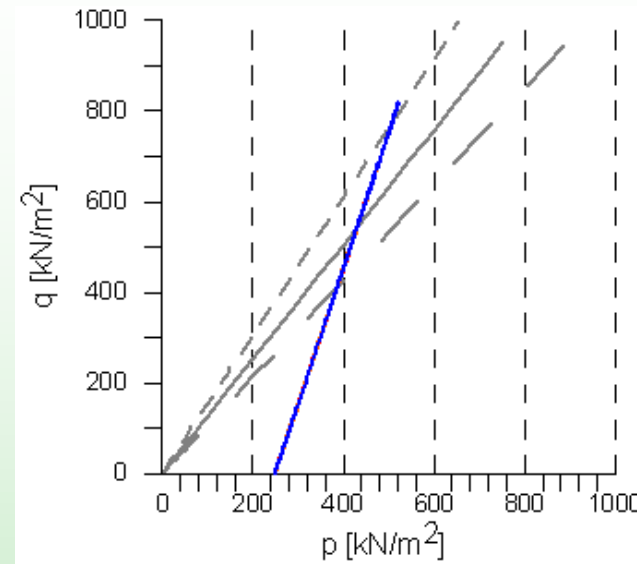
USPOREDBA
PONAŠANJA RAHLIH I
ZBIJENIH UZORAKA
PIJESKA U CID
POKUSU
(Erksak pijesak)

CID POKUSI – Erksak pijesak



**UTJECAJ STANJA
ZBIJENOSTI NA
PONAŠANJE PIJESKA
U CID POKUSU
(Erksak pijesak)**

CID POKUSI – Erksak pijesak



**UTJECAJ STANJA
NAPREZANJA NA
PONAŠANJE PIJESKA
U CID POKUSU
(Erksak pijesak)**